

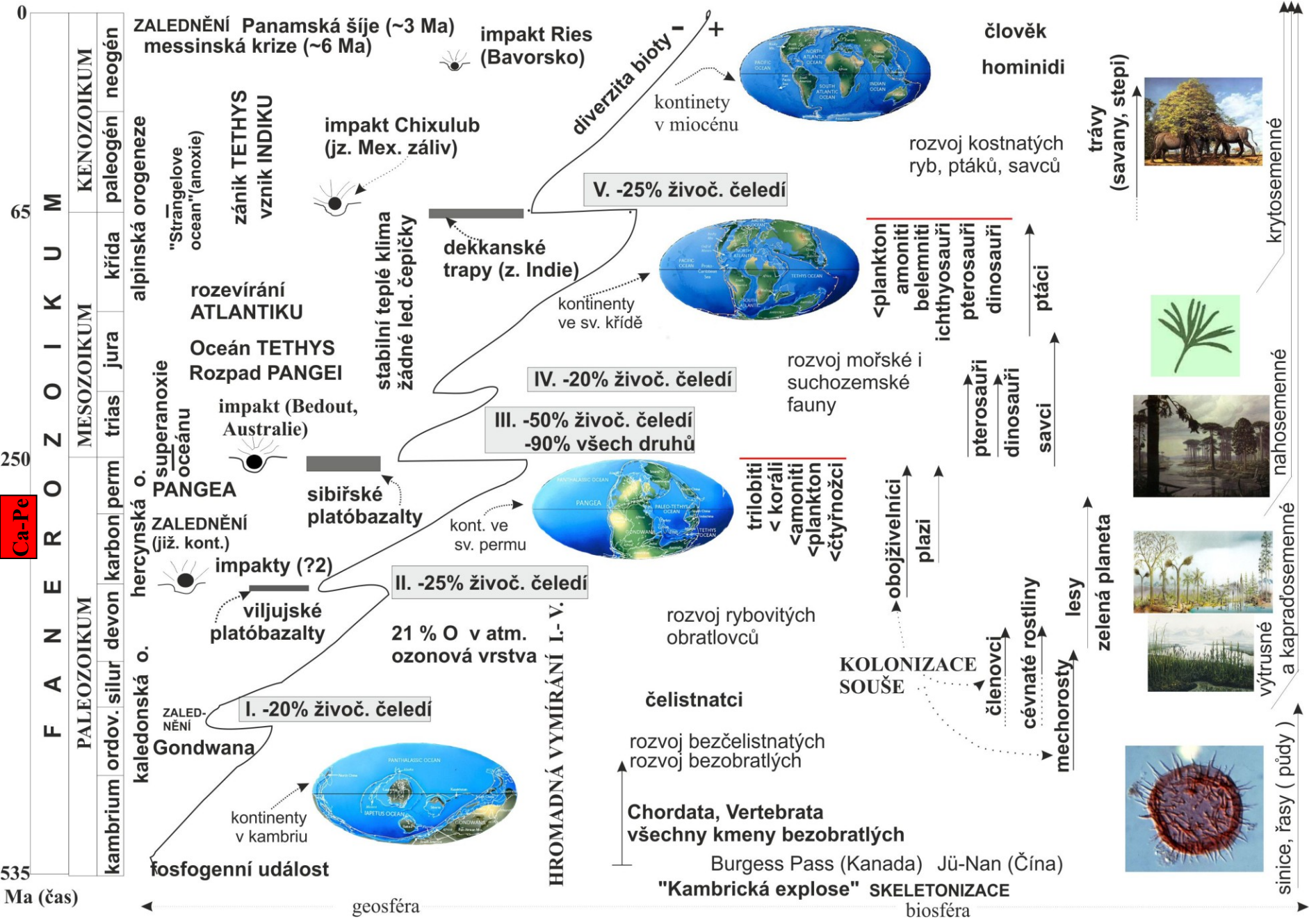
# Biotické krize a globální ekosystémy v historii Země – část VI.

## Karbon-perm

Rostislav Brzobohatý

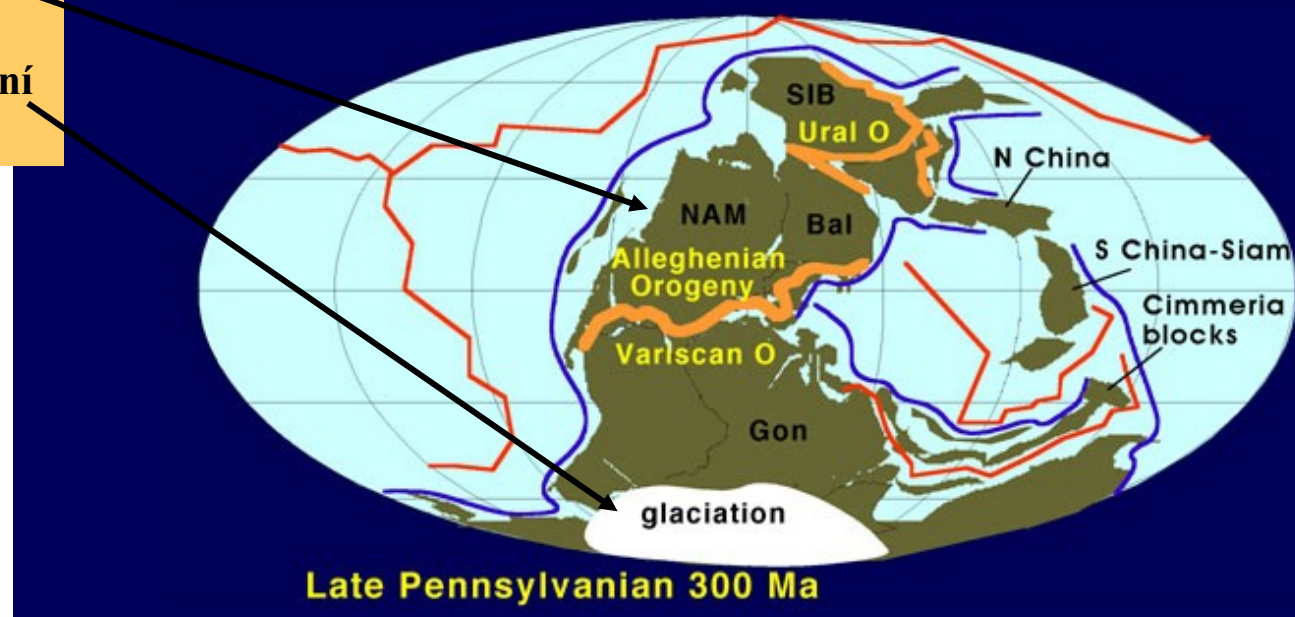
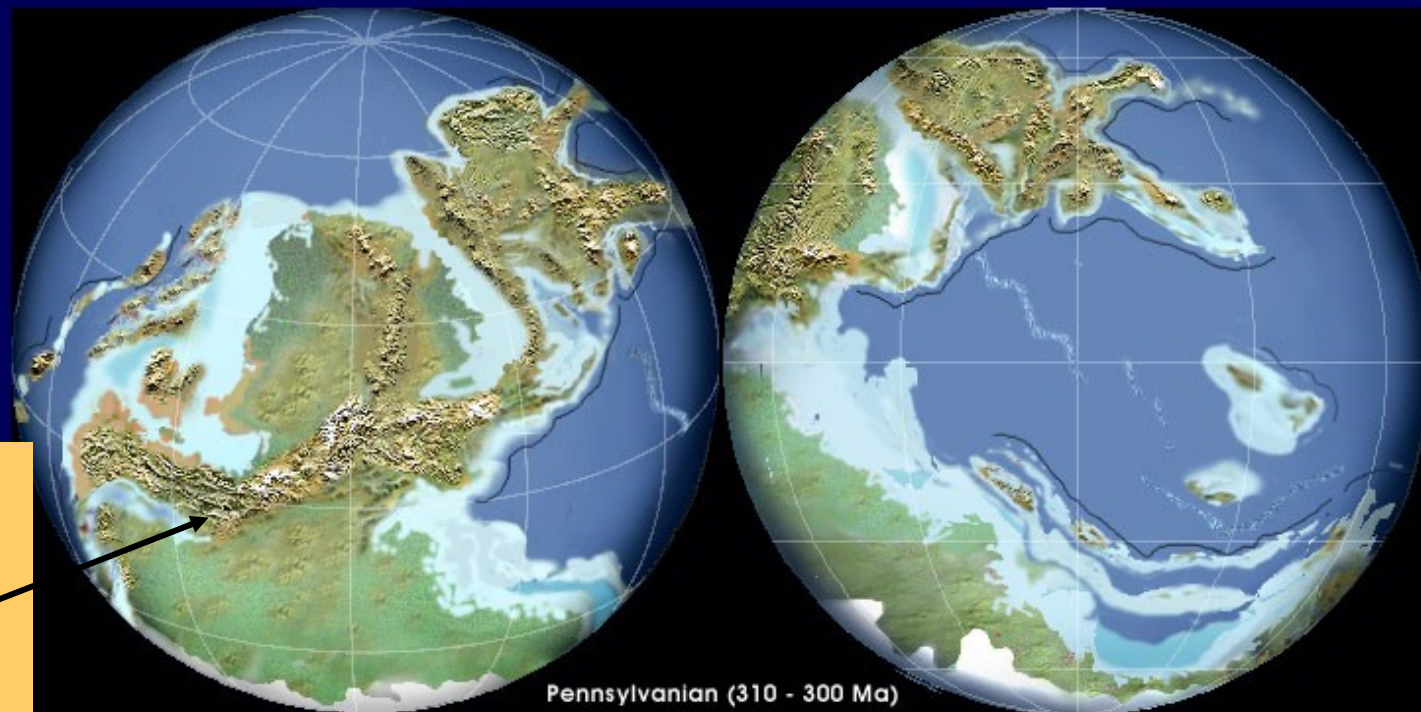
výběrovka 13

**KARBON (358 - 296 Ma) – PERM (296 - 251 Ma)**



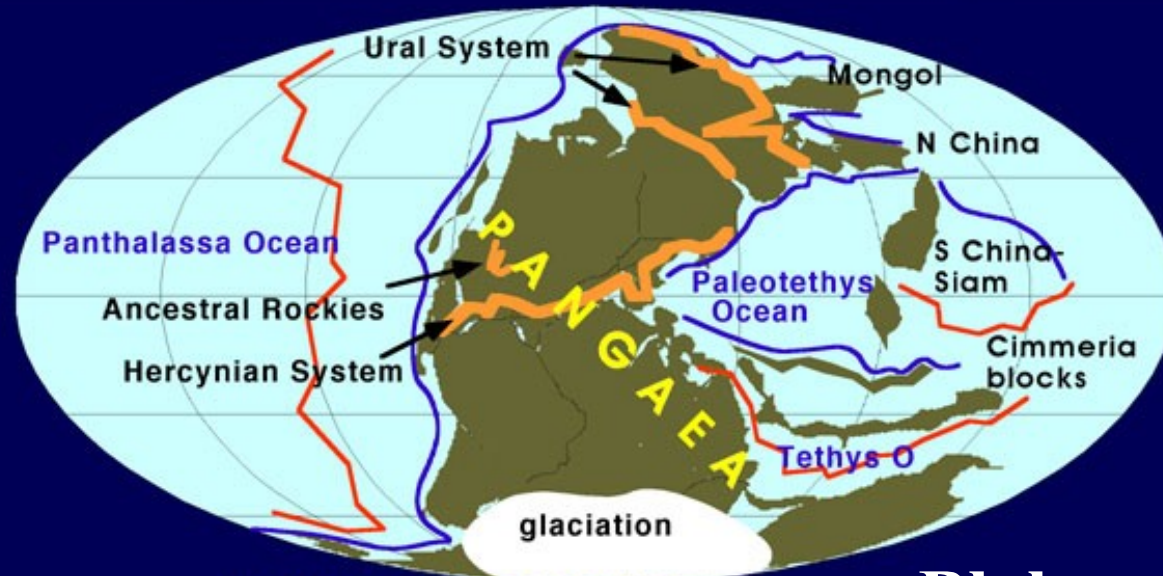
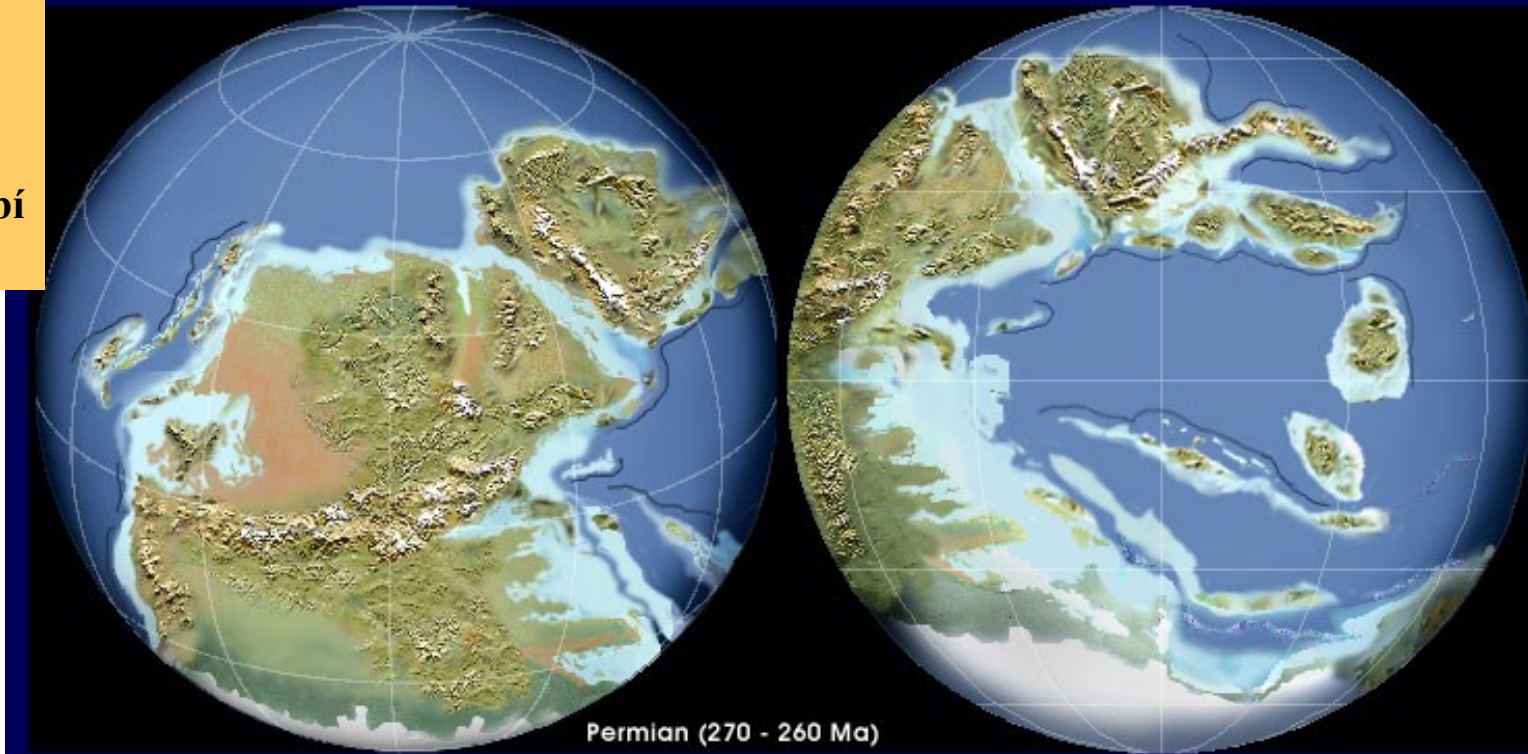
## KARBON

- kolise kontinentů
- hercynská orogeneze
- variská horstva
- Evropa a S. Amerika na rovníku
- j. polokoule = zalednění



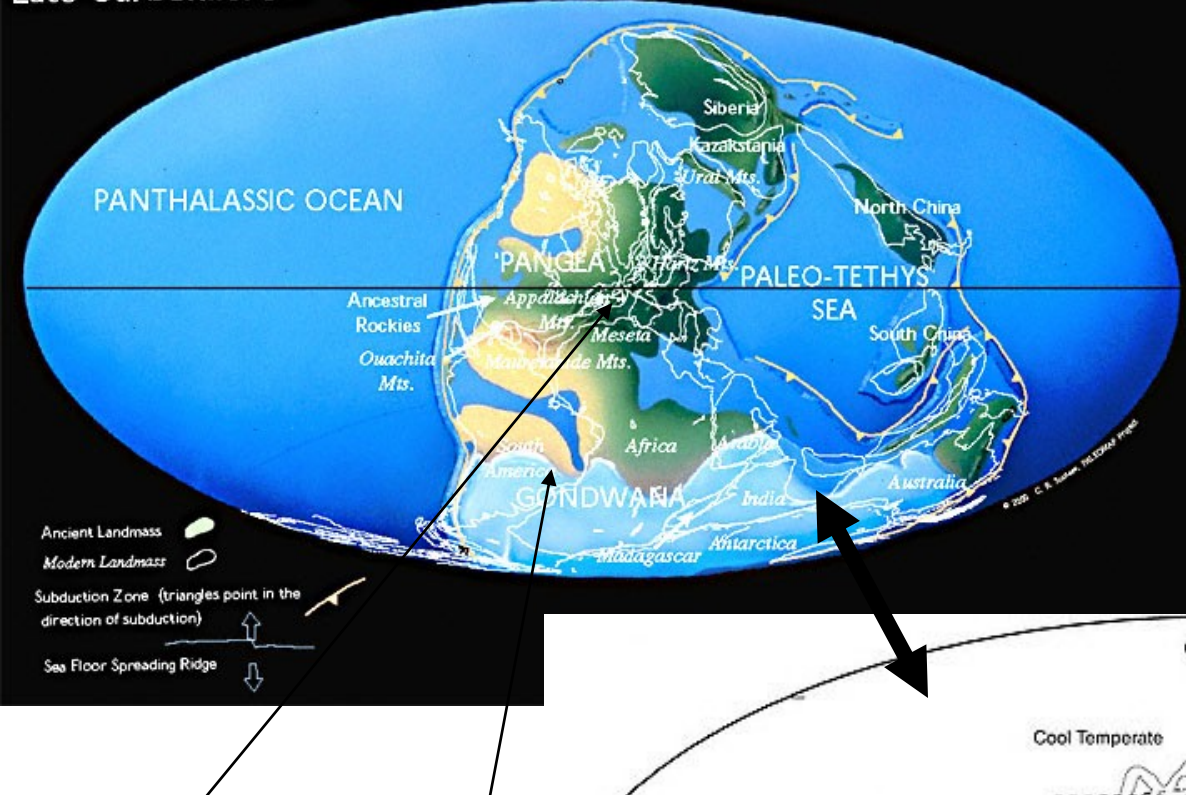
# PERM

- Pangaea
- vyvrásnění Uralu
- geokratické období
- aridní klima



Blakey (1999)

Late Carboniferous 306 Ma

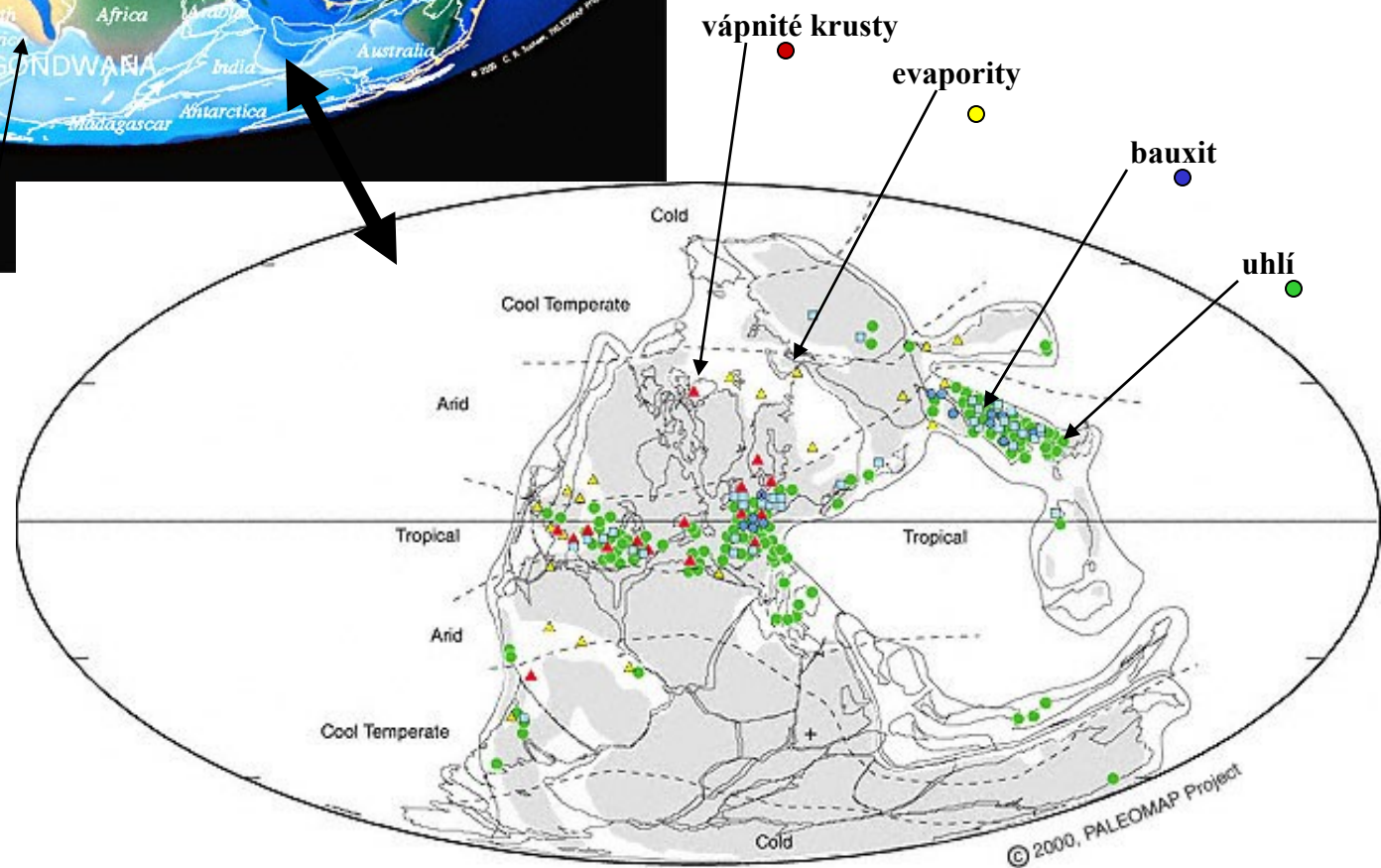


Tropické dešťové pralesy  
ve střední Pangei, uhelné  
bažiny na rovníku,  
pouště s evapority,  
ledovce na Gondwaně

# Svrchní karbon

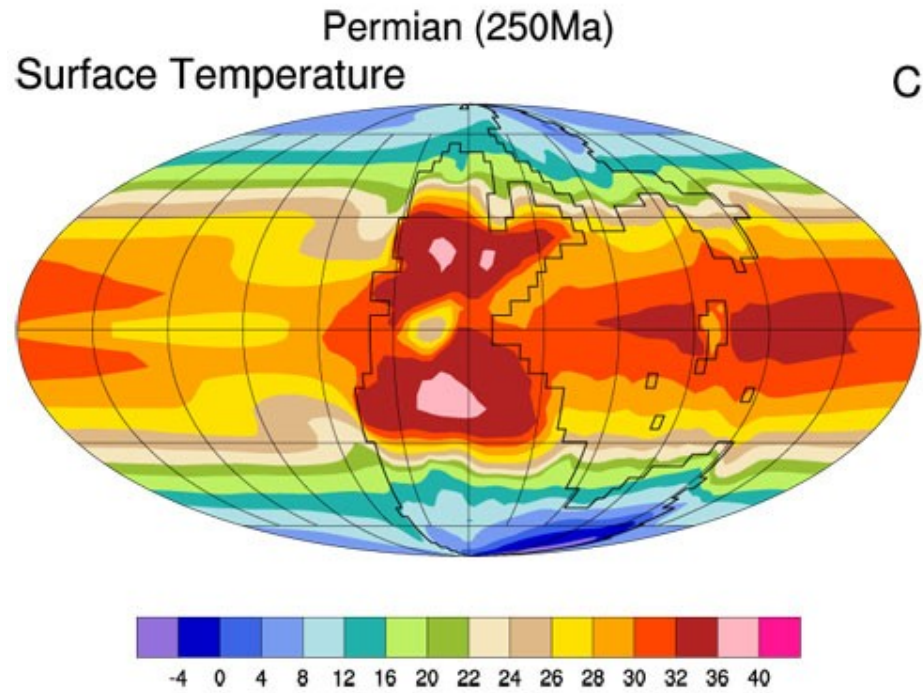
## -tektonika

## -klima (viz i další obr.)



Upper Carboniferous (Gzelian)

## Povrchové teploty v permu



Kiehl (2005)

# Permokarbonské zalednění

- ❖ Největší zalednění v historii fanerozoika
- ❖ Poslední zalednění před pleistocéním
- ❖ Gondwanský ledovec se rozkládal na Antarktidě a J. Africe
- ❖ Maximum - 2X tak rozlehlý než dnešní Antarktický ledovec
- ❖ Dwyka souvrství v Africe:
  - 600 metrů mocné tility
  - podložní horniny nesou znaky - grooves, rýhy a ohlazy
  - indikují směry pohybu ledovců
- ❖ žádná evidence o zalednění na severní polokouli

# Doklady o permokarbonském zalednění

+ 600m mocné tillity



Hluboké rýhy po sunutí gondwanského ledovce, Oorlogskloof, South Africa

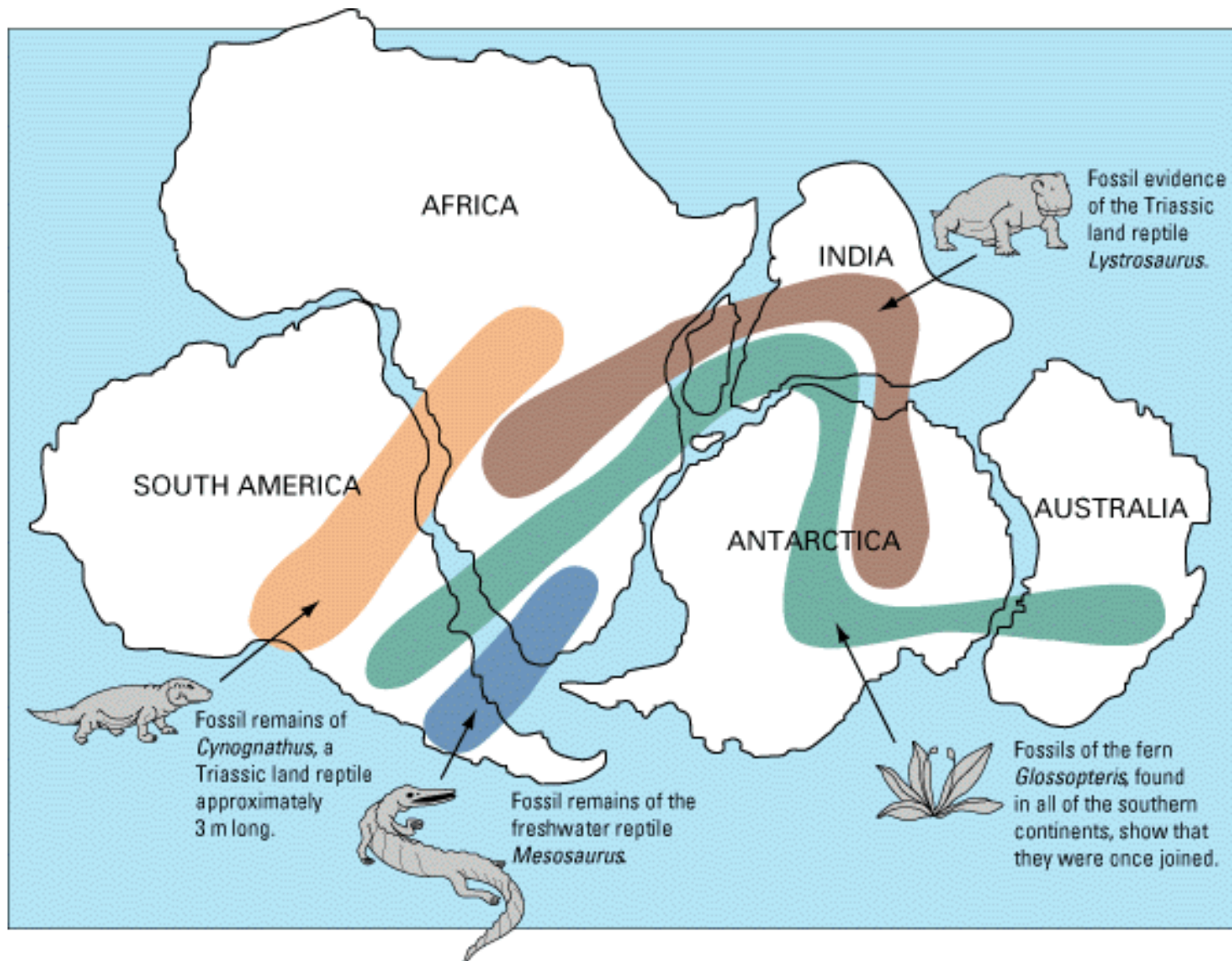
## Typické facie hornin v karbonu

- 1) Uhelný vápenec (Kohlenkalk) – vápnité řasy, krinoidi, foraminifery, brachipodi, bryozoa a koráli
- 2) Kulmská facie – karbonský flyš, střídání drob, slepenců a břidlic (viz Drahanská vrchovina)
- 3) Uhelné facie – uhelné pánve limnické (sladkovodní, rosicko-oslavanská pánev) a paralické (střídání mořského a sladkovodního režimu), cyklotémy (ostravsko-karvínská pánev).

Moderní analog představují bažiny na Floridě a v Louisianě



Rozšíření kontinentálních plazů rodů *Cynognathus*, *Mesosaurus*, *Lystrosaurus* a tzv. glossopteridové flóry na Gondwaně – jasný doklad původní souvislosti gondwanských subkontinentů – částí samostatných kontinetů v recentní konfiguraci



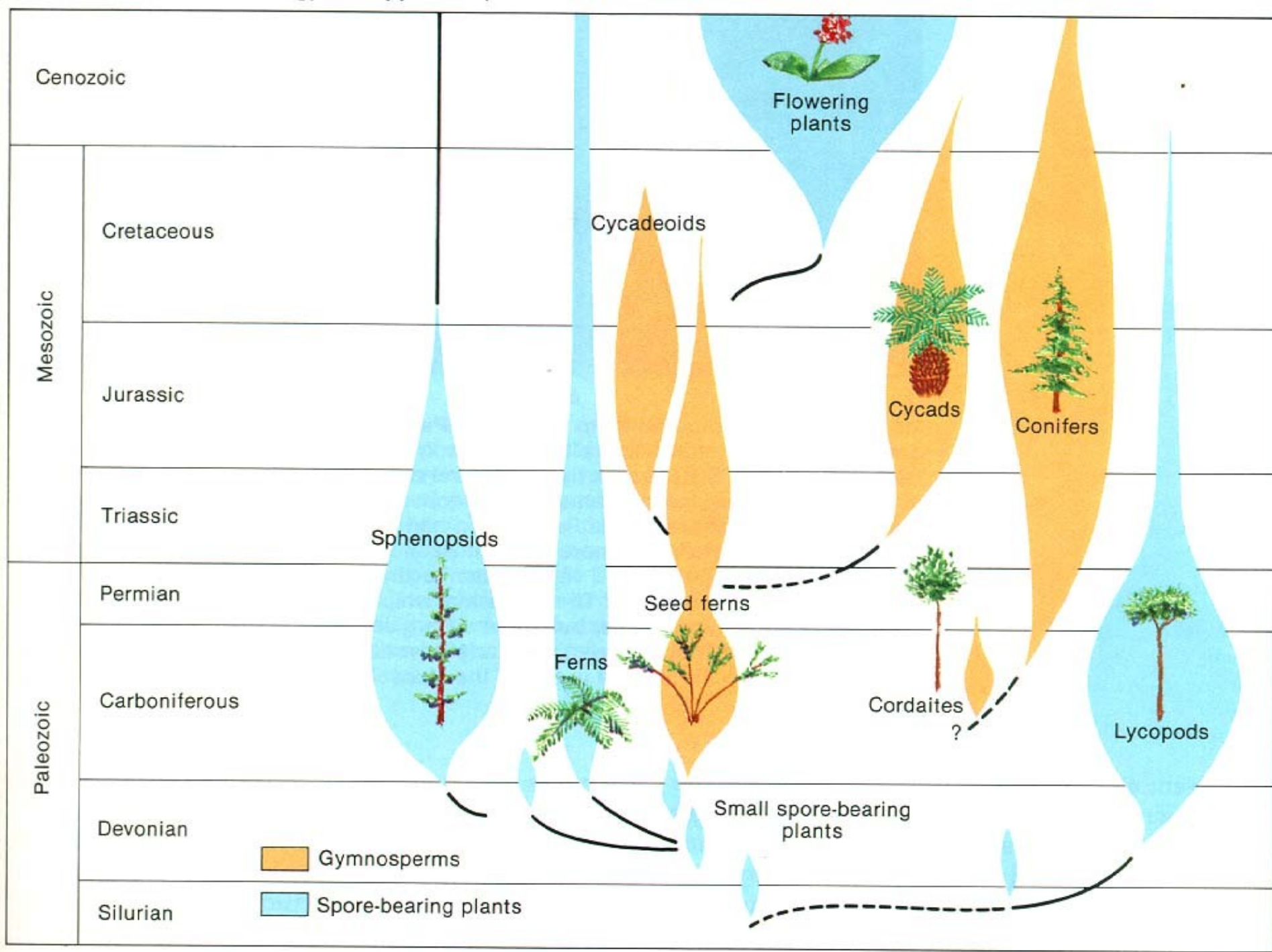
# Obraz permokarbonské flóry ukazuje:

**Nejprve rozvoj sporátných rostlin ve vlhkých a nížinných podmínkách - přesličky, plavuně a kapradiny (bažiny – uhelné sloje) - paleofytikum.**

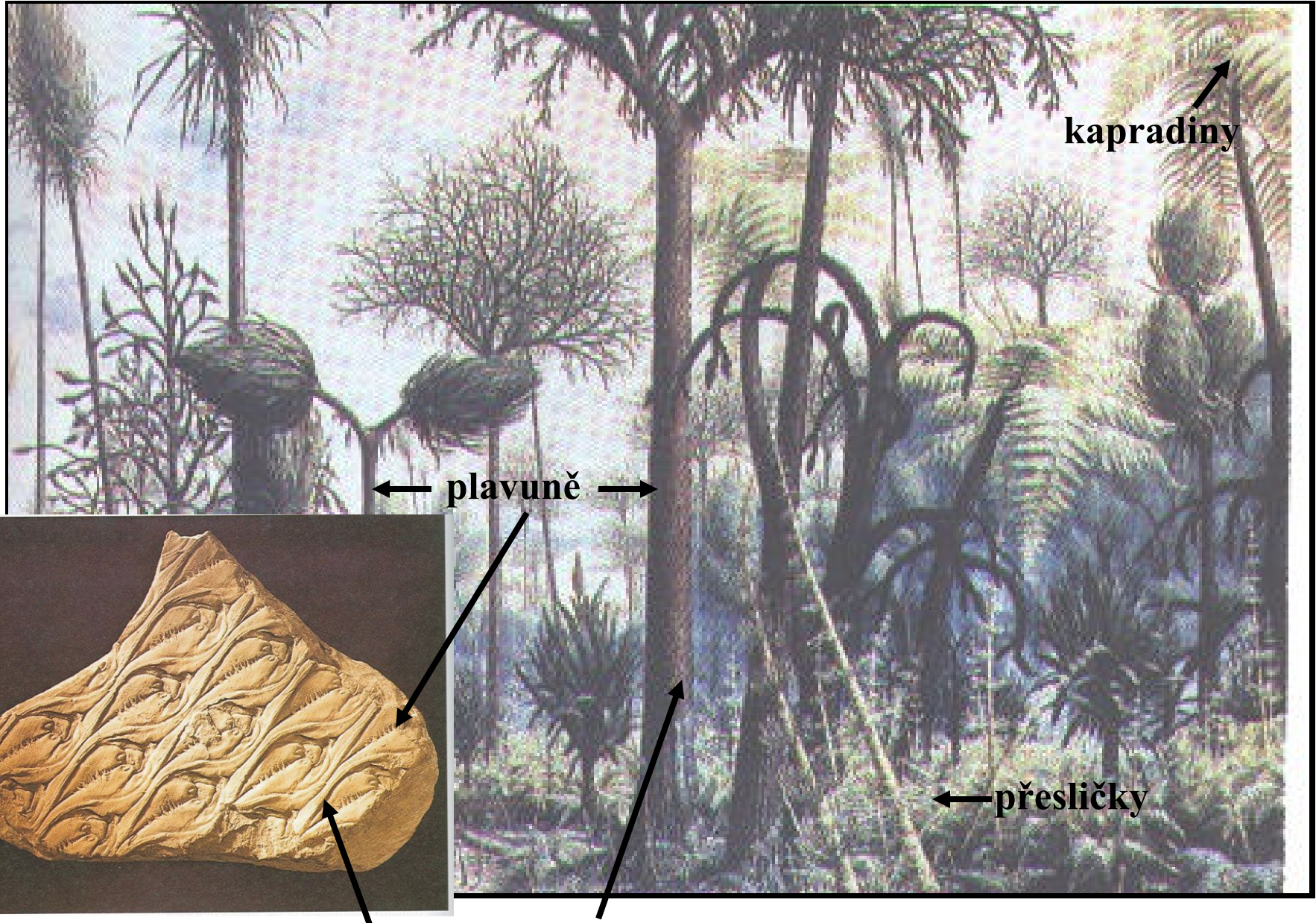
Tyto facie ustupují během aridizace permu do pozadí, stromovití zástupci mizí a ve vyšším permu už převažují jejich nízce stromovité až bylinné typy – tento trend pokračuje až do současnosti.

Současně během karbonu nastupují semenné rostliny – kapradňosemenné, kordaity, konifery, okupují sušší a výše položená místa, dosahují stromovitých rozměrů a ve svrchním permu začínají dominovat až do spodní křídy – **mezofytikum**. Kordaity však mizí ještě během vyššího permu. Během permu mizí souhrnně více jak  $\frac{1}{2}$  v té době rostoucích druhů rostlin, jejich vymírání je na rozdíl od živočišného pozvolné, postupné v různých rytmech a předchází živočišné P/T krizi.

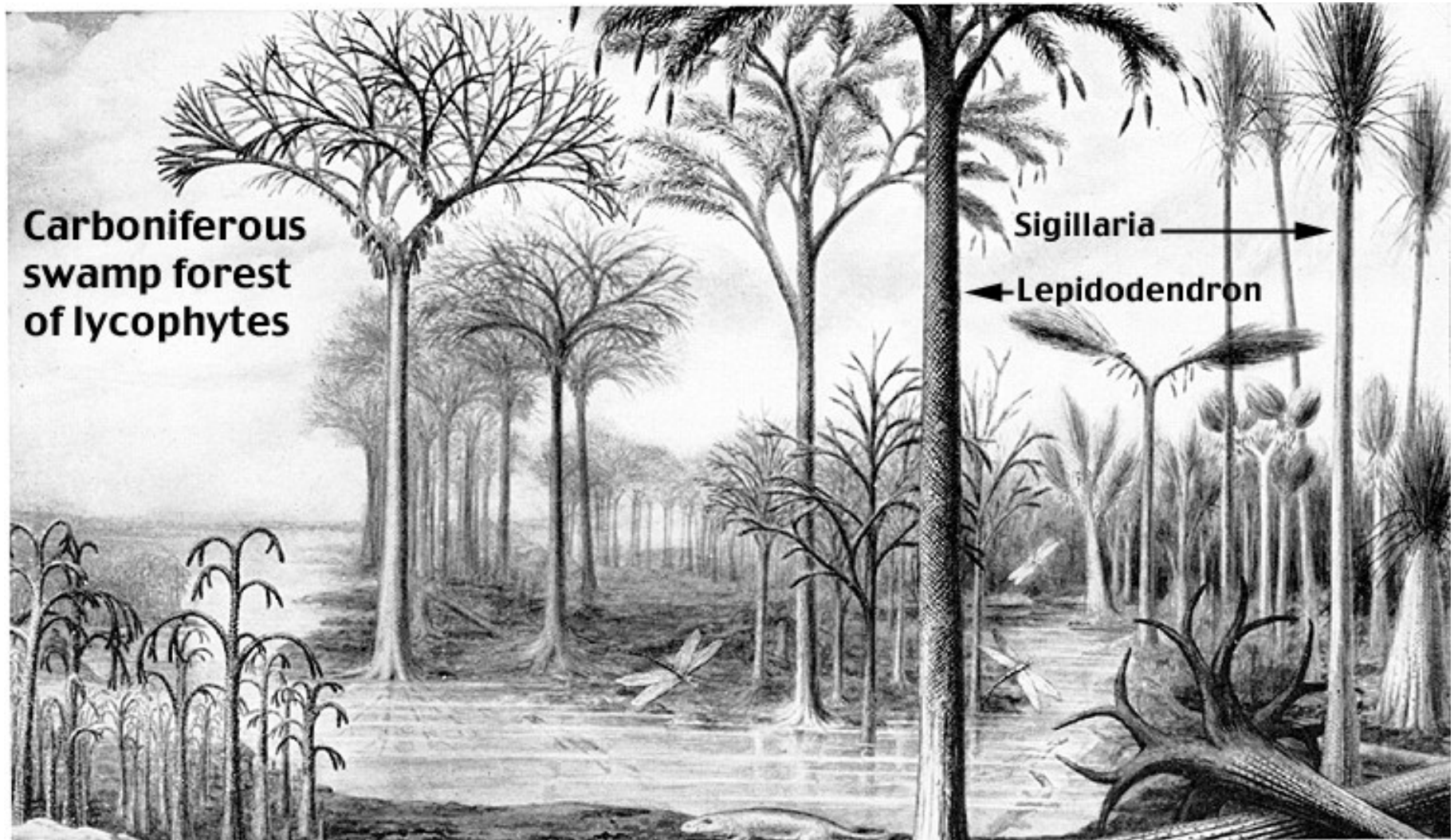
(viz následující graf)



# Pohled do permokarbonského pralesa (dominance kapradinorostů)



## Další možné rekonstrukce





kapradiny

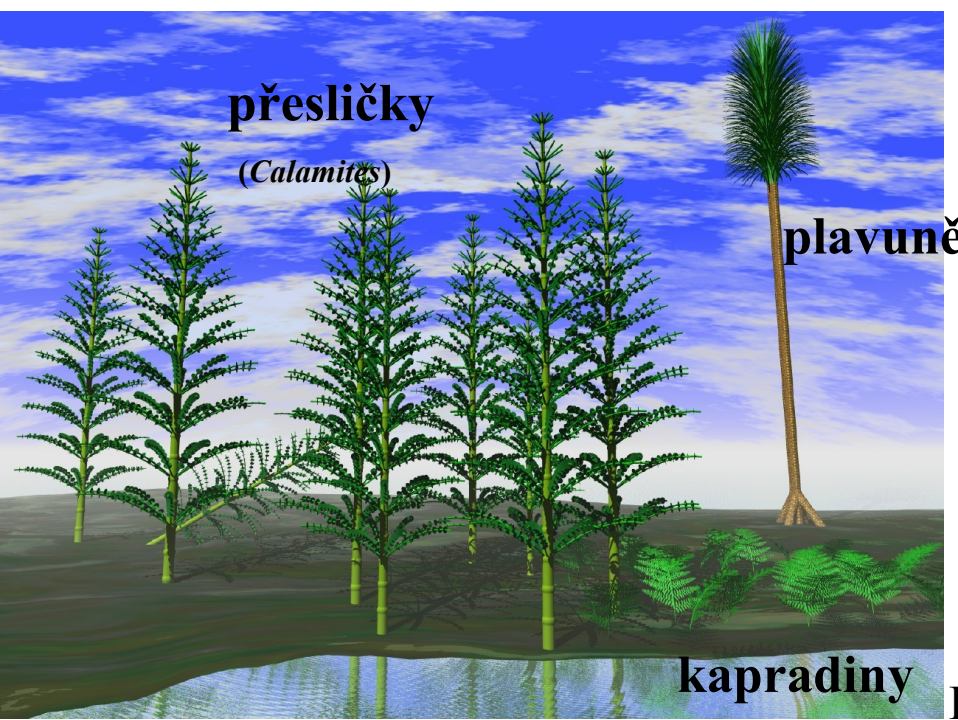
*Sigillaria* -spolu s rodem *Lepidodendron*  
dominantní zástupci plavuní

A

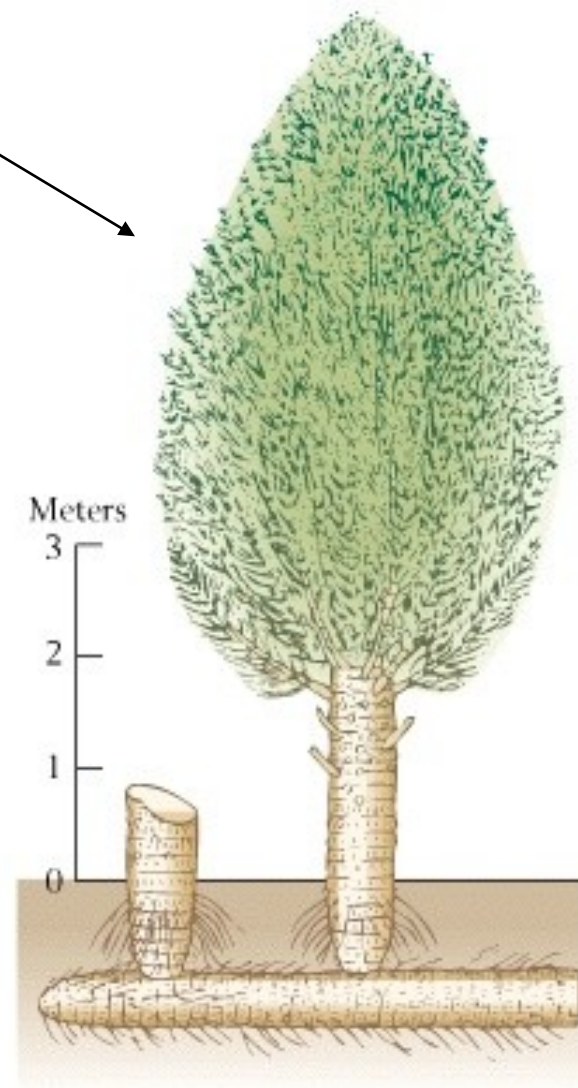


fosilní listy (otisk)

*Calamites*  
(karbonská  
stromovitá  
přeslička)



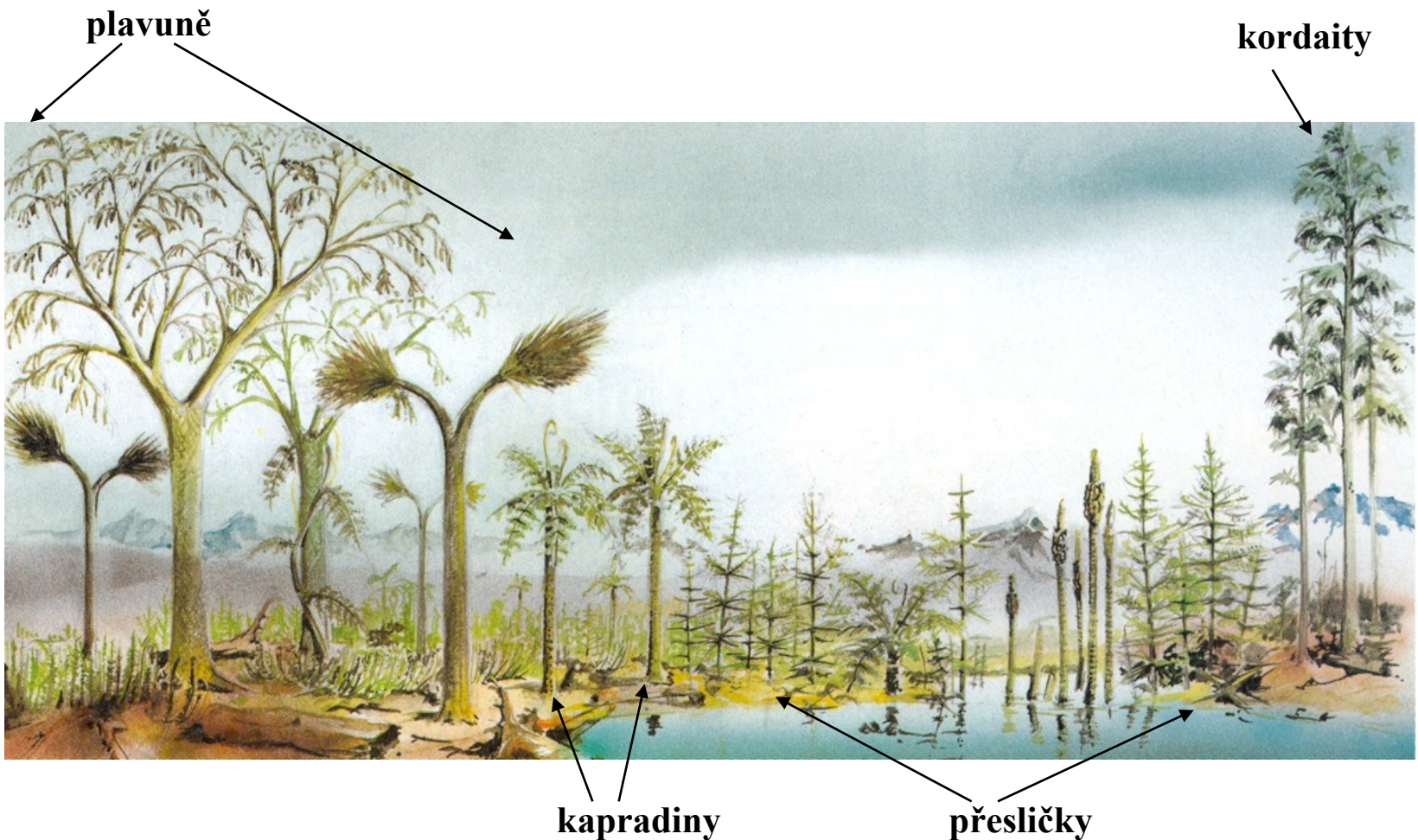
Idealizovaný pohled



B

rekonstrukce stromu

# Středoevropská karbonská krajina





dtto





dtto



dtto



dtto





*Callipteris conferta*, kapradiny, perm

## Obraz permokarboneské flóry doplňovaly tzv. kaprad'osemenné rostliny

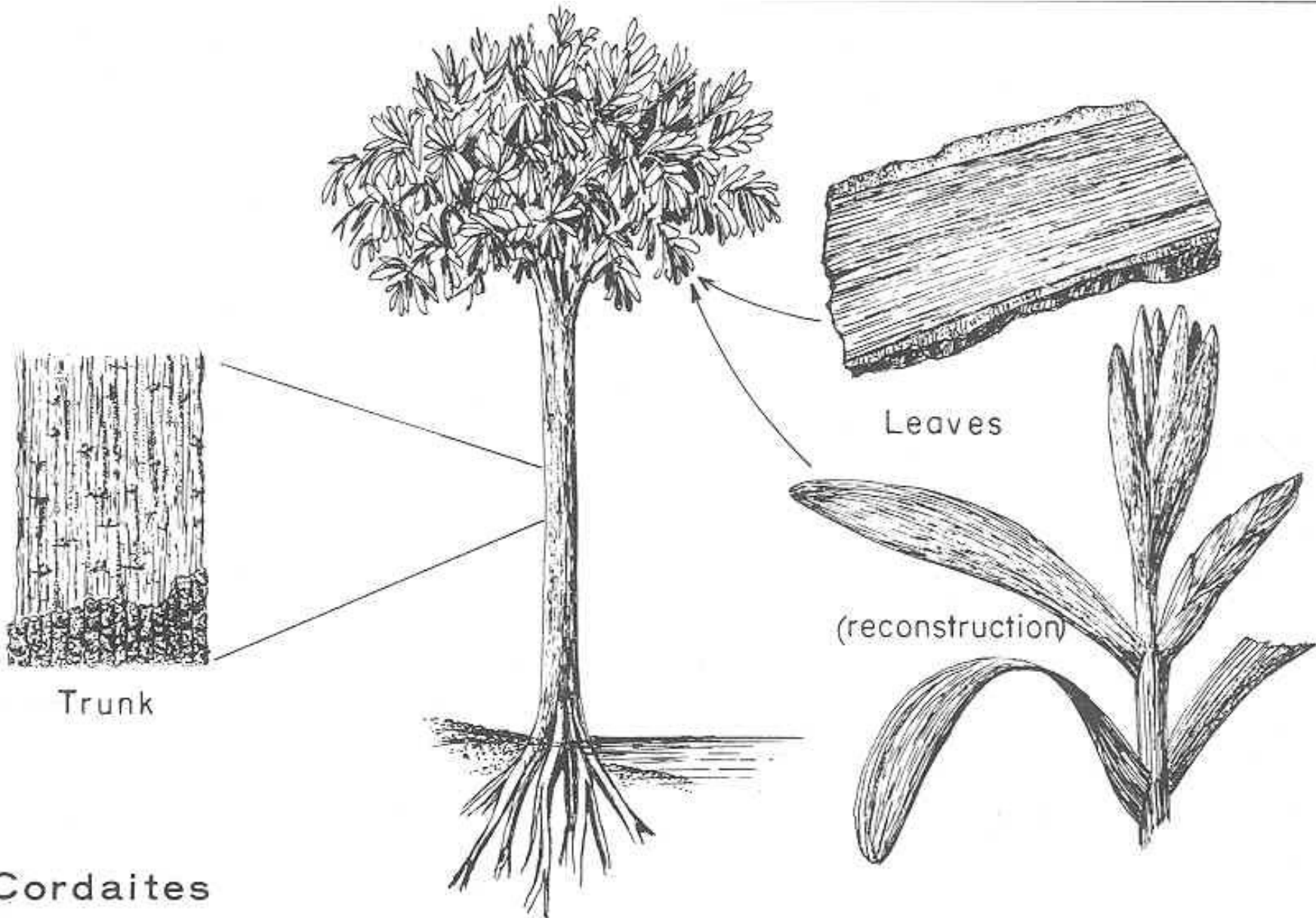


Některé kaprad'osemenné snášely i sušší podmínky. Rozšířily se více než ostatní, především rod *Glossopteris* na Gondwaně, slavný po jejím rozštěpení (citace v souvislost s deskovou tektonikou a konfigurací kontinentů)



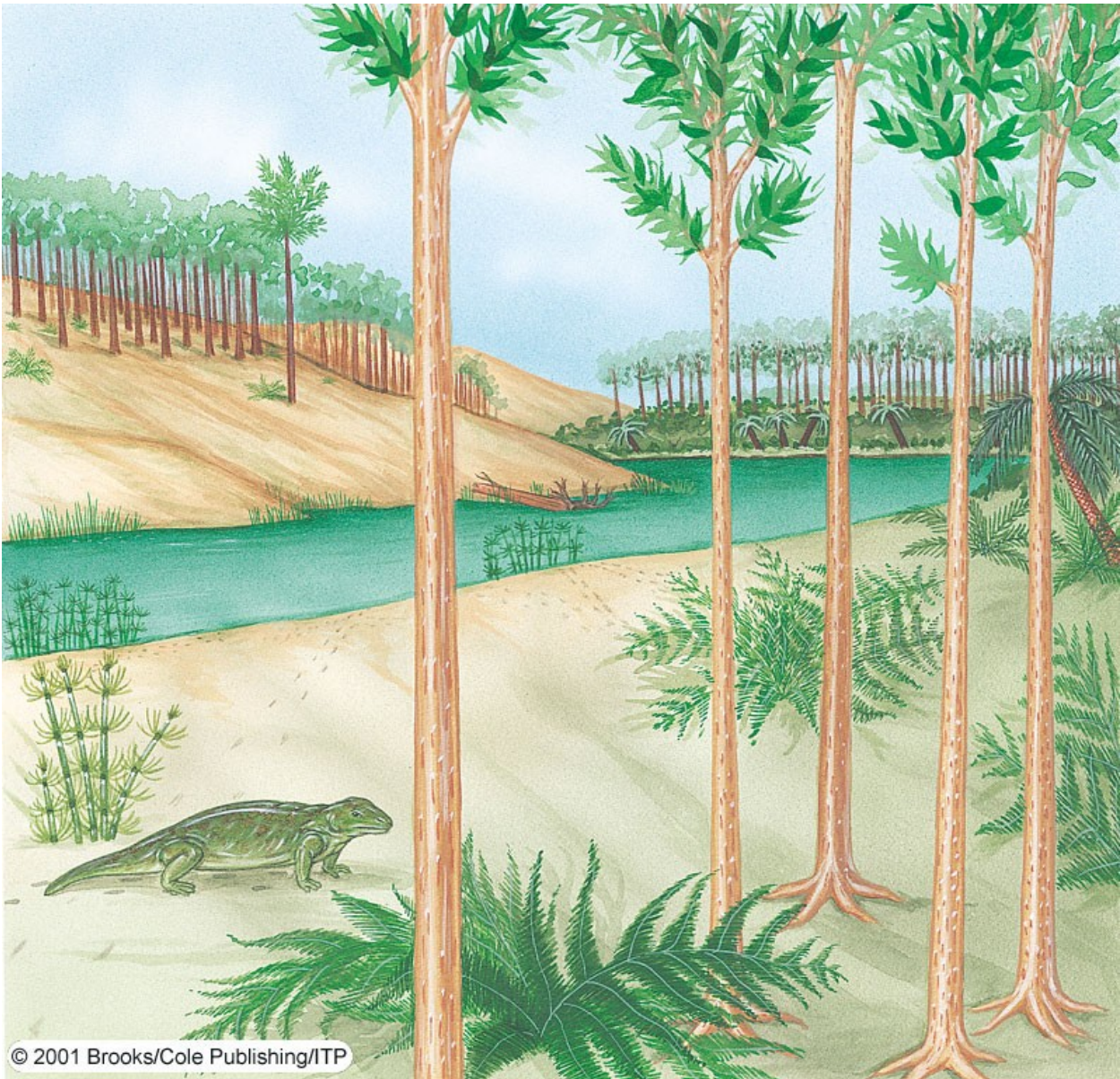
*Glossopteris* sp., listy,  
Perm, Afrika

Během karbonu nastupují rostliny cestu k nahosemenným. V jejich úsvitu stojí též kordaity, které vbrzku dosáhly stromovitých výšek (~ 30 m), řazené některými autory již k jehličnatým, zjednodušování listů, listy nasedají ve šroubovnici



# Kordaitový les

- Tyto lesy jsou časté už od svrchního karbonu
- Kordaity – nahosemenné - výhodou nahosemenných bylo, že už nebyly vázány na vlhké prostředí a migrovaly do volných suchých a také geograficky vyšších míst



# Jehličnany – první zástupci



*Walchia hyonoides*,  
Pinopsida, perm



*Walchia piniformis*  
Pinopsida, perm

## Obraz fauny v permokarbonu:

**Moře:** - rozvoj bentózních vápnitých foraminifer (Fusulinida)

- v bentosu vedle brachiopodů (útesotvorní) dominují lilijice (horninotvorný význam), diverzifikují ježovky
- útesy tvoří především mechovky
- mezi mlži hrají roli epiplanktonní skupiny, mlži migrují intenzivně do sladkých vod,  
dtto plži, včetně vlhkých prostředí = Pulmonata (karbon)
- hlavonožci - amoniti – goniatitový šev
- trilobiti ustupují (pouze stratigrafický význam), na hranici Pe/Tr vymírají
- obratlovci v mořích – dominance akantodů – spolu se žraloky migrují do sladkých vod, ve skupině Actinopterygii dominují Chondrostei (řídkokostní, Paleoniscida)
- v mořích nastupují ve svrchním permu i plazi (notosauři, euryapsidní), biologicky = dnešní tuleni a lachtani (tj. rozhraní prostředí)

## **Souše:**

- obrovská radiace členovců, prakticky všechna tracheata (mnohonožky, stonožky, hmyz), spolu s nimi predátorské skupiny (pavoukovci, škorpioni)
- především radiace hmyzu bezkřídlého (chvostoskoci, šupinušky, rybenky),
- během karbonu migruje hmyz jako první skupina i do vzduchu. Starokřídly hmyz – biologicky podobný vážkám (neskládají křídla), koncem karbonu – novokřídly hmyz (skládání křídel, tvorba krovek – fosilizace). Hmyz získává svoji dominantní pozici v rozmanitosti a drží ji dodnes,
- rozvoj bezobratlých na souši připravil půdu pro rozrůznění a diversitu životních strategií u suchozemských tetrapodů. V karbonu především Amibia, z nich pak krytolebci (< predátoři), v závěru karbonu – Antracosauria s řadou plazích znaků – cesta k plazům (vajíčko a amniiovém vaku, allantois, eliminace larválního stadia, ? neotenie?, evoluční výhoda = expanse do prostředí suché země).

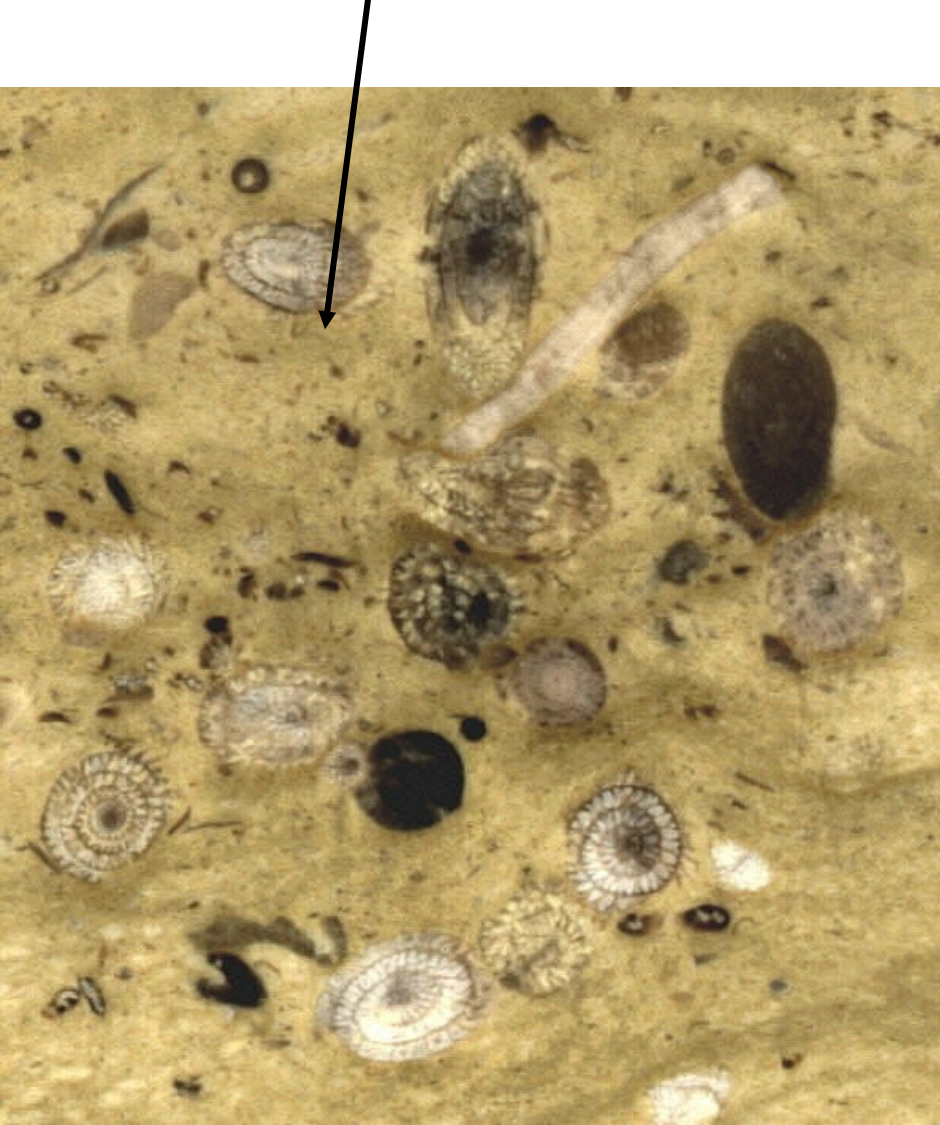
## **Plazi:**

- úprava těla: zamezení vysychání, vnitřní oplození, dokonalejší krevní oběh,
- stavba končetin, větší mozek, zesílení čelistního aparátu etc. vede k možnostem využití dalších strategií a nových nik.
- K nejstarším patří *Westlothiana* (sp. karbon) a *Hylonomus* (sv. karbon).
- Ve svrchním karbonu nastupuje skupina plazů již se savčími znaky (tzv. savcovití plazi – *Pelycosauria*, synapsidní, některí ?? teplokrevní ).
- Z nich během permu vznikají therapsidi (synapsidní) s výraznější koncentrací savčích znaků (včetně osrstění a teplokrevnosti – odpověď na aridizaci klimatu).
- Zakládají již konkrétní cestu k triasovým savcům.

## Moře:

V dírkovcovém betisu hrála velkou roli skupina Fusulinida – velké vřetenovité formy ( $\text{CaCO}_3$ ) - časté jsou fusulinové vápence

*Parafusulina* sp.  
bar = 1 cm,  
sp. perm



*Stewartina* sp., řez fusulinidní foraminiferou, California  
sp. perm,

# Bivalvia – v karbonu velmi rozšířené epiplanktonní skupiny



*Posidonia becheri*, spodní karbon,  
Nízký Jeseník,  
častá v tzv. „posidoniových“ břidlicích

*Carbonicola acuta*  
svrchní karbon, délka 2.5 cm,  
kolonizace sladkých vod



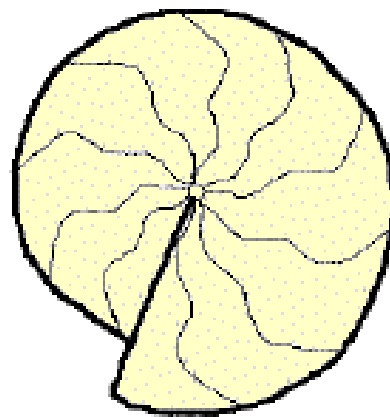
# Gastropoda



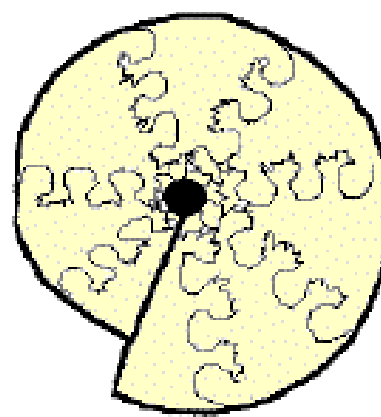
*Euomphalus pentagulatus*, spodní karbon, St. Doughlas, Irsko

# Mollusca

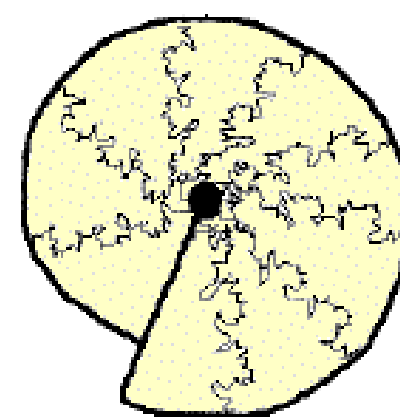
**Ammoniti** s goniatitovým a ve svrchním permu již ceratitovým typem švu



Goniatitic



Ceratitic



Ammonitic



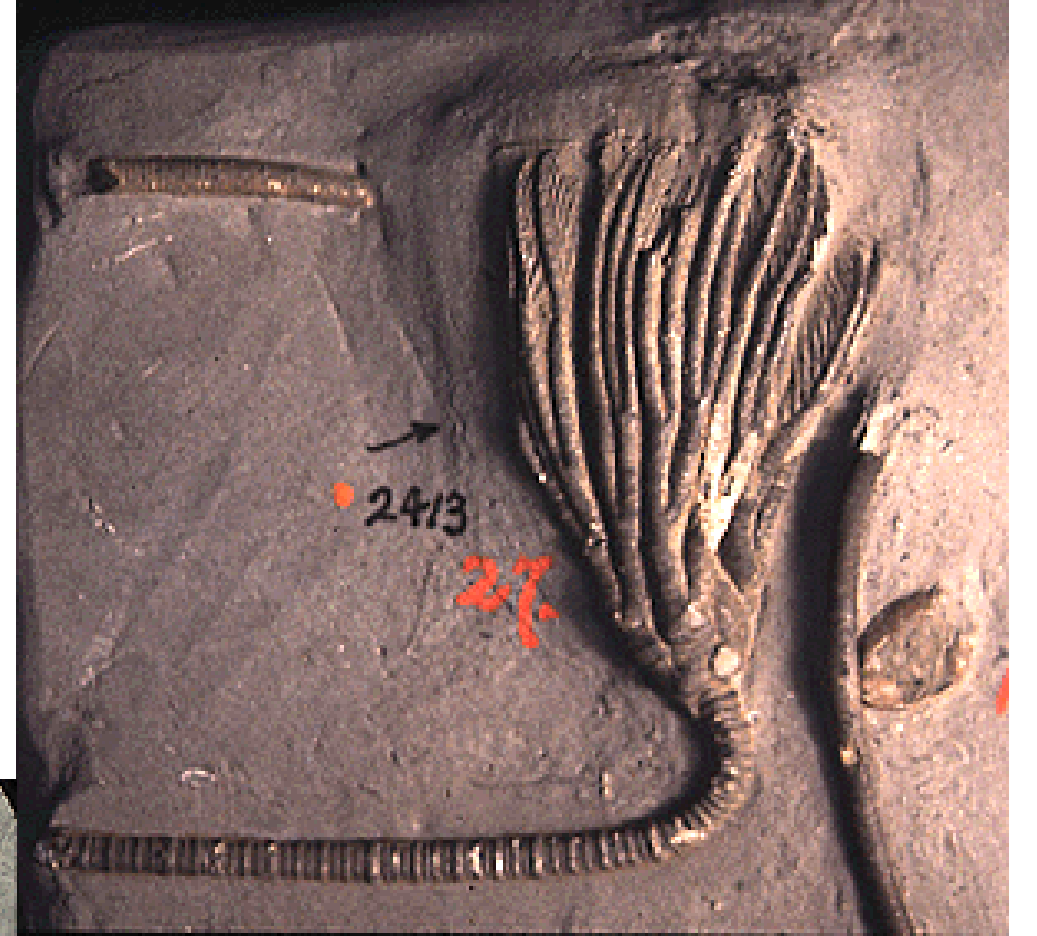
of aperture

*Goniatites* sp.





fenestrátní mechovka z řádu Stenolaemata,  
Sonoita, USA, perm



*Pachylocrinus aequalis* (Hall), sp. karbon,  
Montgomery, Indiana

lilijice



*Cyathocrinites multibrachiatus* (L. et Craw.)  
sp. karbon, Montgomery, Indiana

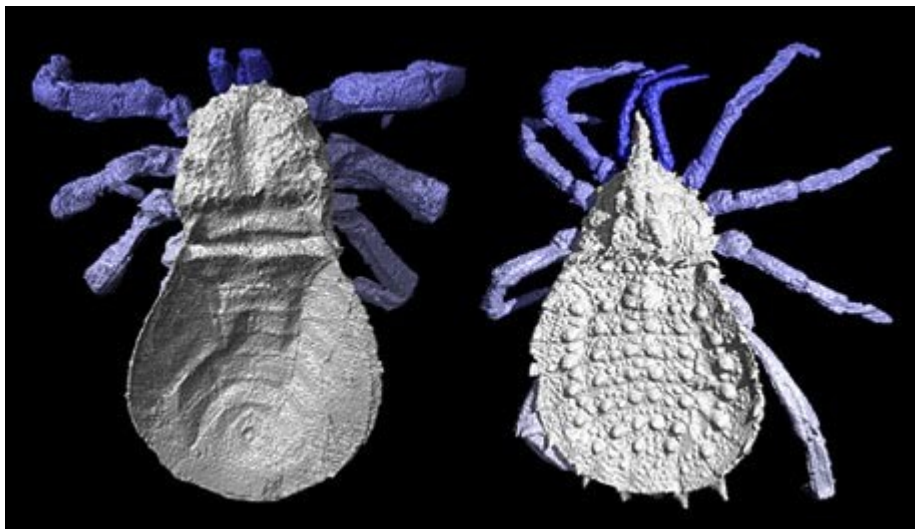


*Pentremites*, Blastoidea, karbon, USA

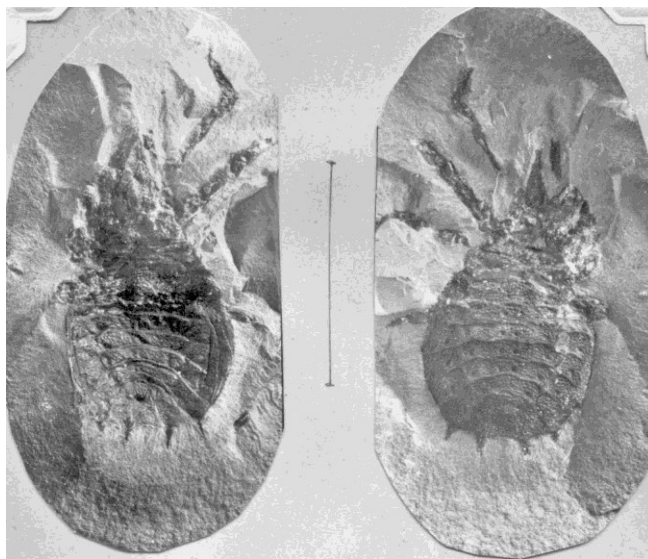


**Francie, Monceau – les – Mines, sideritové  
nodule, stefan, trigonotarbidní arachnida a další  
insekta**

**(Gaarwood, 2010) - modely**

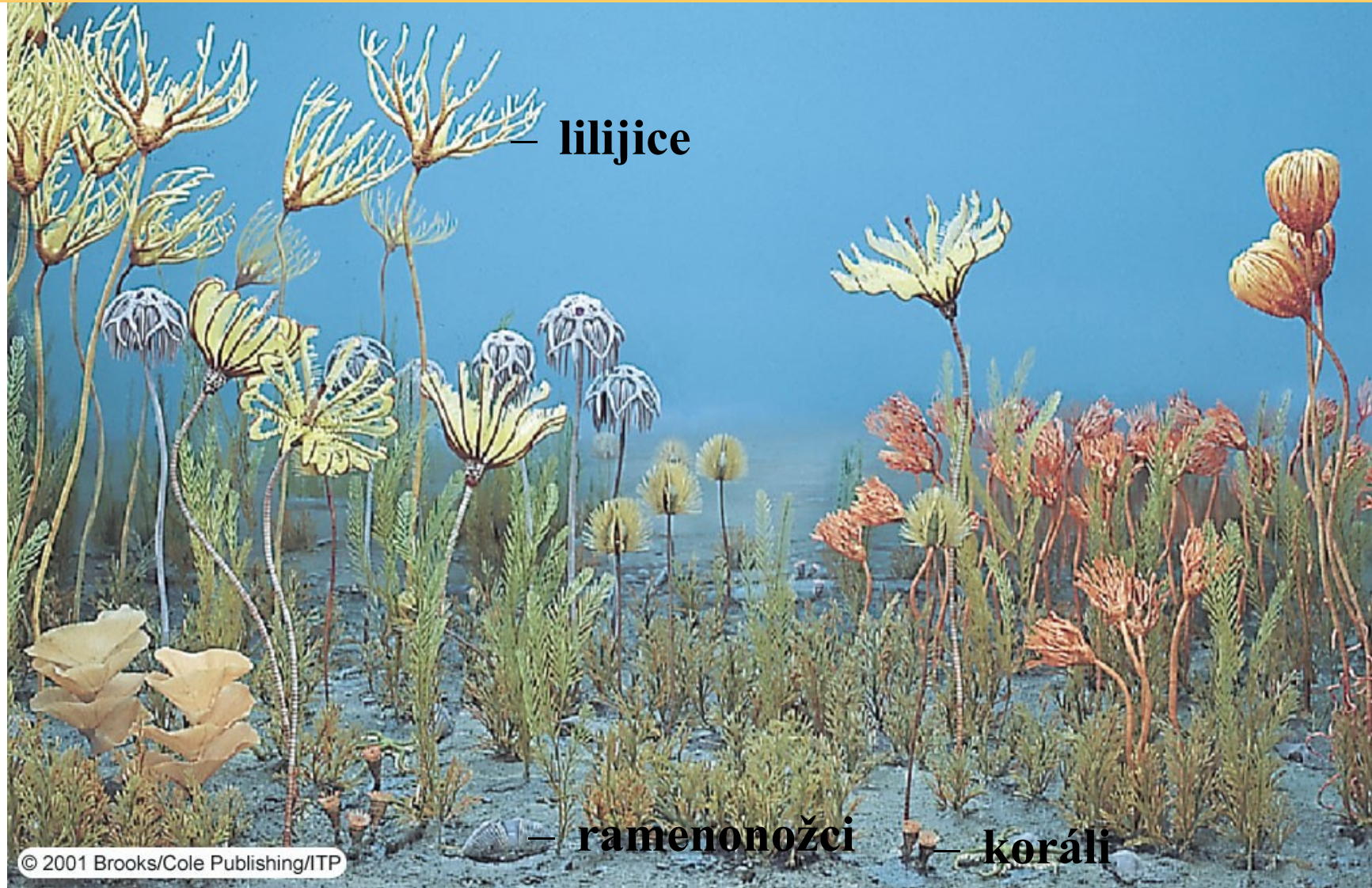


*Anthracomartus hindii* (vlevo), *Eophrynum prestvicii* (vpravo),  
Francie, sideritové nodule, stefan, trigonotarbidní arachnida, netkali, dravci,  
(Gaarwood, 2010) - modely



*Eophrynum prestvicii*, fosílie

# Ukázka života ve spodnokarbonském mělkovodním moři (lokalita Crawford, Indiana)

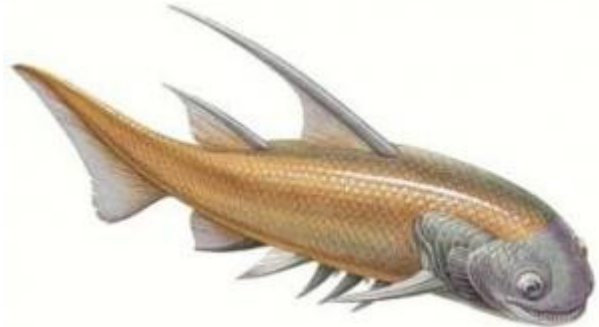




*Acanthodes gracilis*, perm, Německo



*Radinichthys alberti*, Palaeonisciformes,  
tournai, Albert Shale, Canada

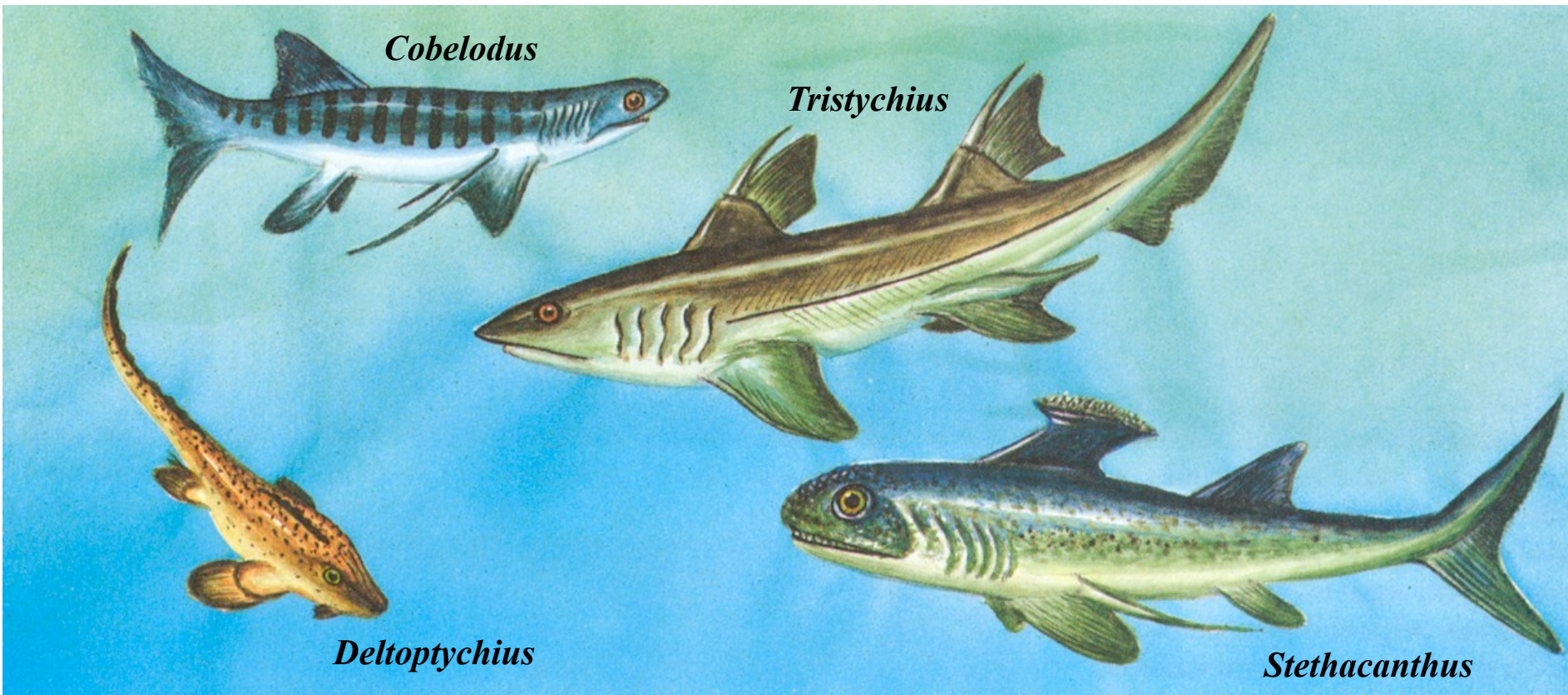


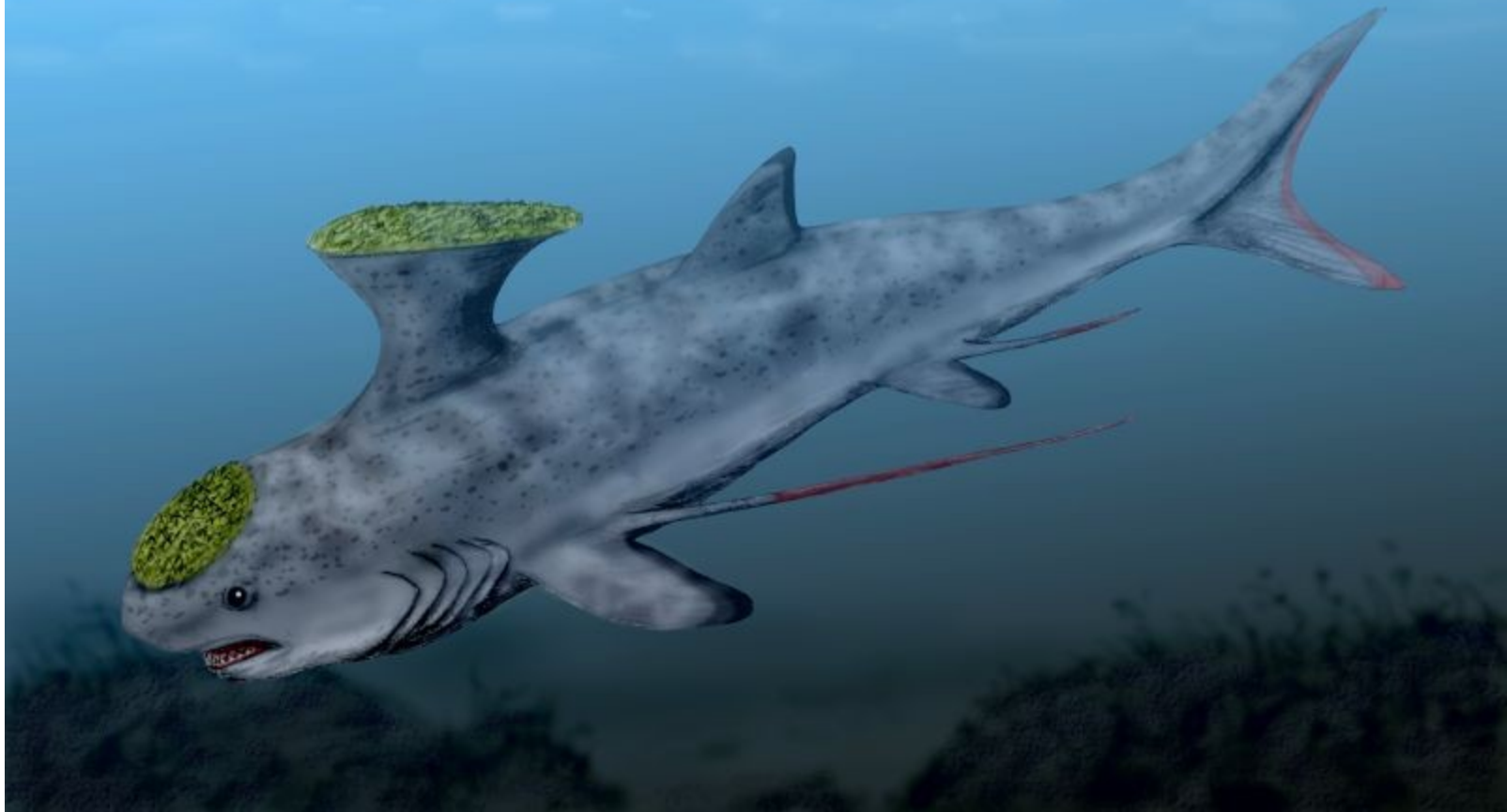
**Model akantoda**



*Acanthodes browni* - model

## Karbonští zástupci žraloků přecházejí i do sladkých vod





**Stethacanthus – viz též MK**



*Akmonistion* sp.

**Elasmobranchii  
zuby, sp. karbon**

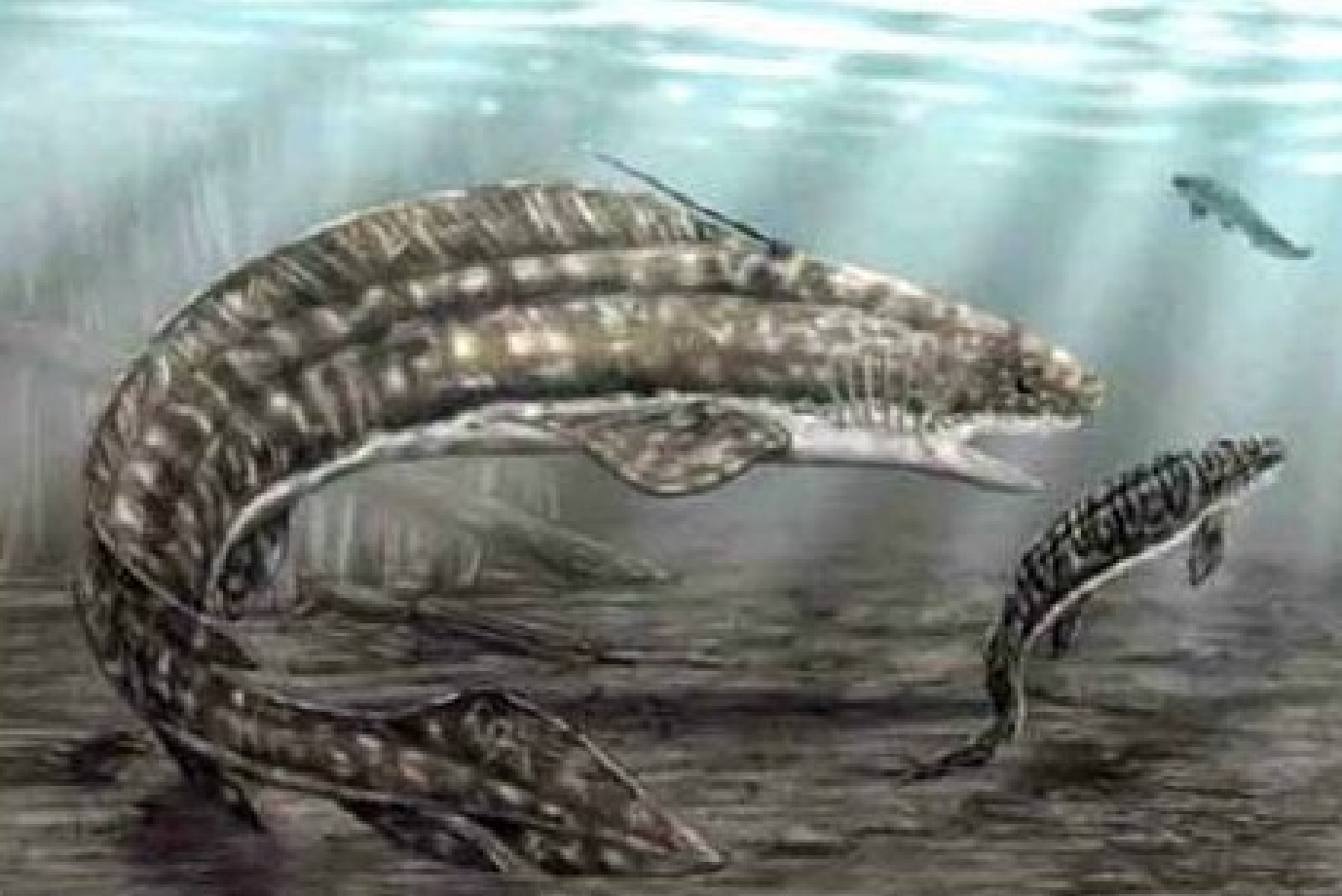


*Denea* sp.



*Symmorium* sp.

**Zuby těchto rodů též v líšeňském souvrství při hranici De/Ca  
v Moravském krasu (Kumpan, 2013)**



*Orthacanthus* - zub

*Orthacanthus*, typický perm ský sladkovodní žralok  
např. České permokarbon ské pánve

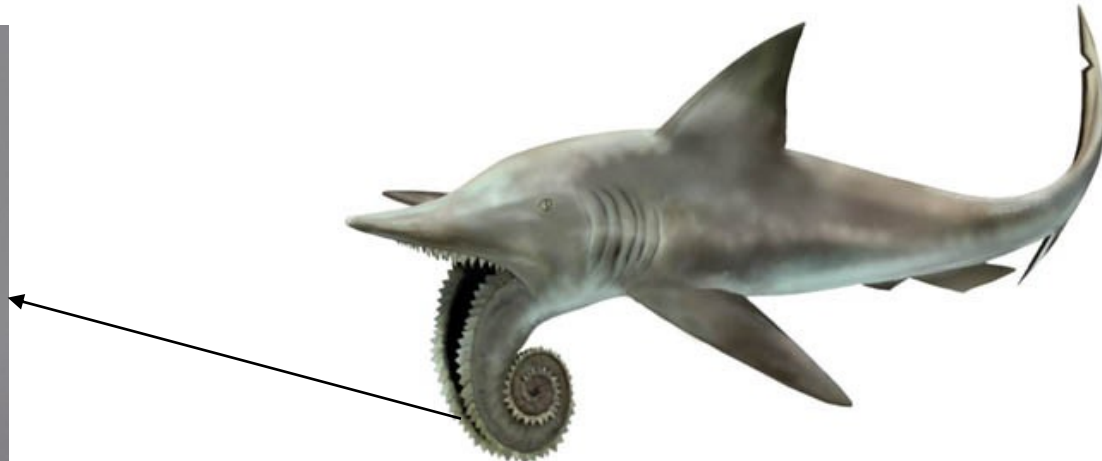


*Orthacanthus* sp., perm, stř. Čechy



*Wodnika striatula* Munst., sv. perm, Polsko

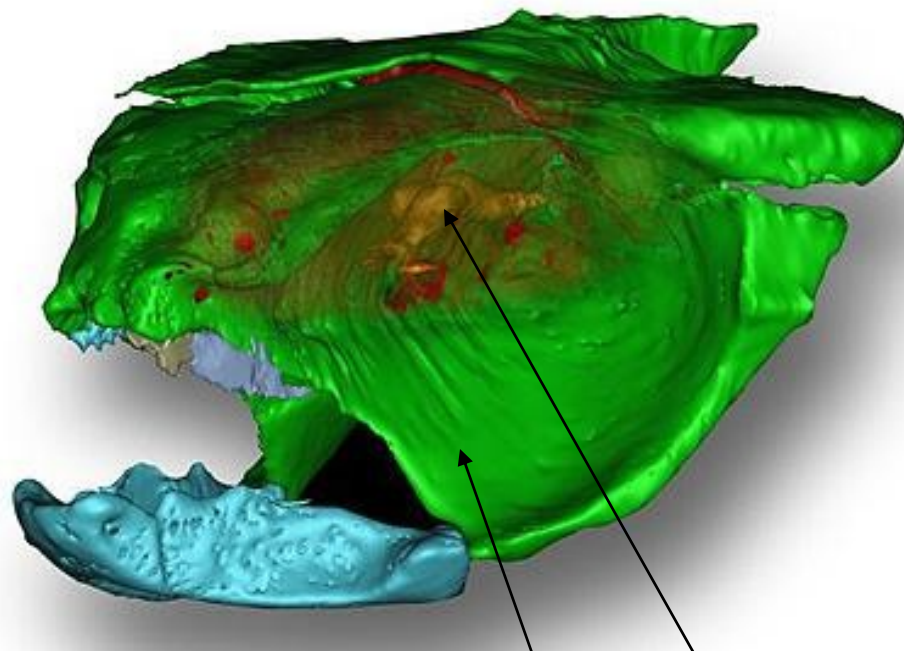
Zuby sladkovodních žraloků



*Helicoprion*, sp. perm, Ural



fosilní lebka (přední pohled)

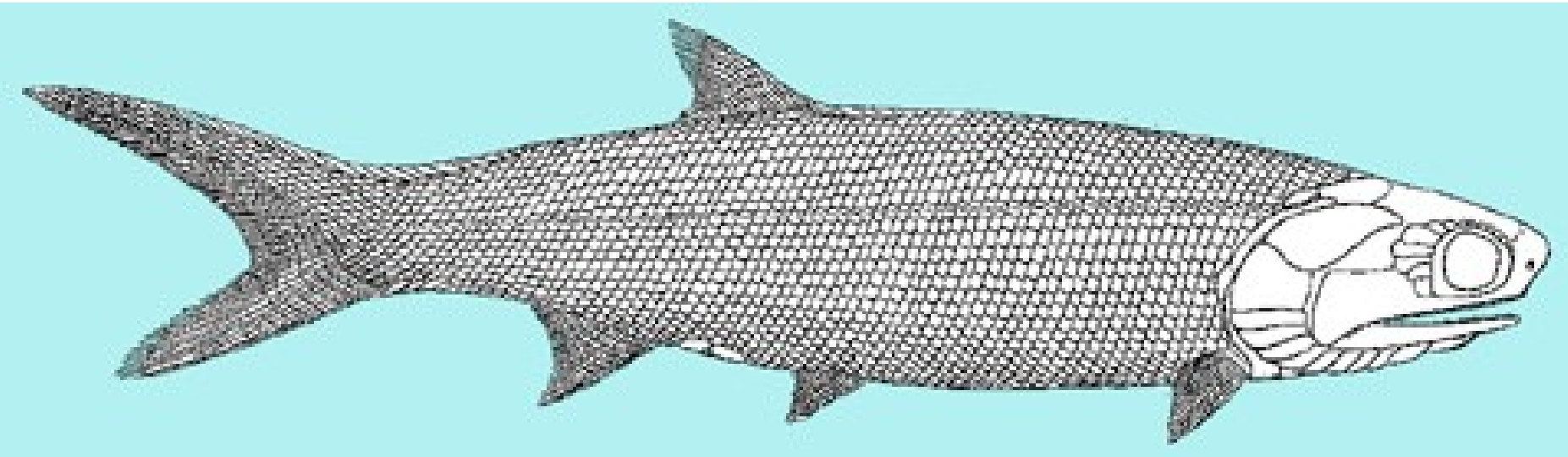


tomografický obraz lebky a mozku  
ze synchrotronu v Grenoblu (boční pohled)

Zástupce fosilní skupiny Iniopterygii (příbuzná recentním chimérám) z nejvyššího karbonu Kansasu a Oklahomy (~300 Ma), dosud nejstarší doklad mozku, tvar zvukovodu ukazuje na neschopnost vertikální orientace => horizontální pohyb u dna (špatný plavec)

(podle Maisey, Tafforeau & Pradel 2009)

## Paprskoploutví (Actinopterygii) – převážně Chondrostei (Paleoniscida)



*Palaeoniscus*, karbon,  
Čechy, rekonstrukce

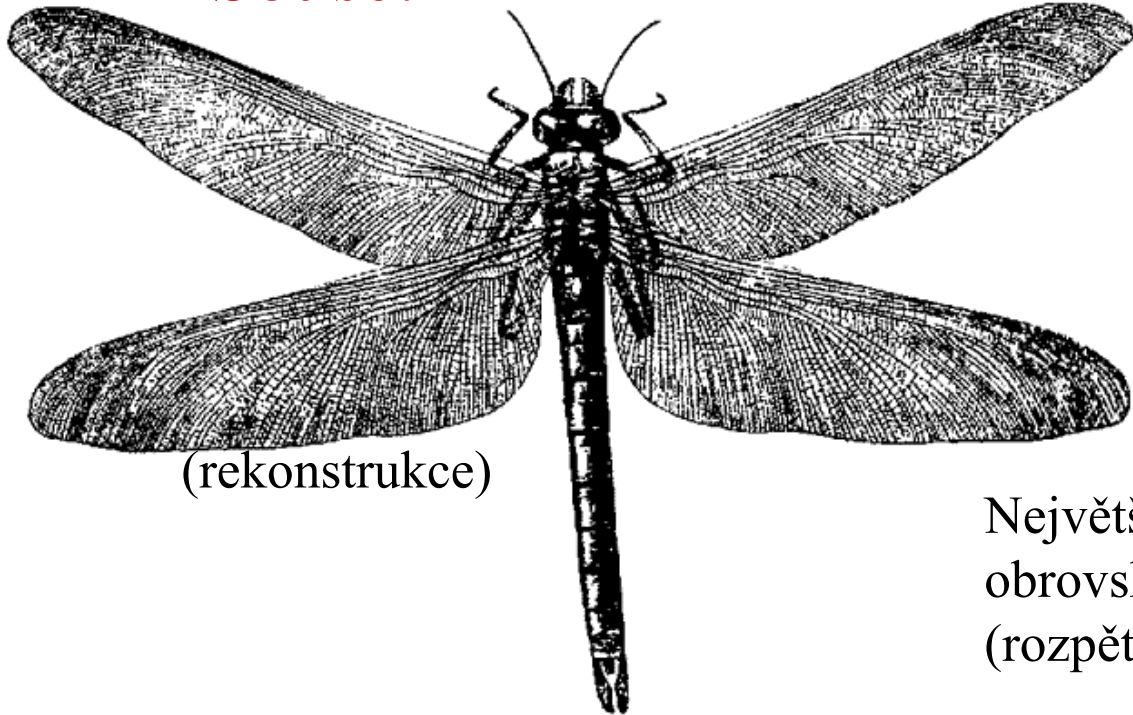


*Paramblypterus* sp., perm, Bačov u Boskovic



*Paramblypterus* – model

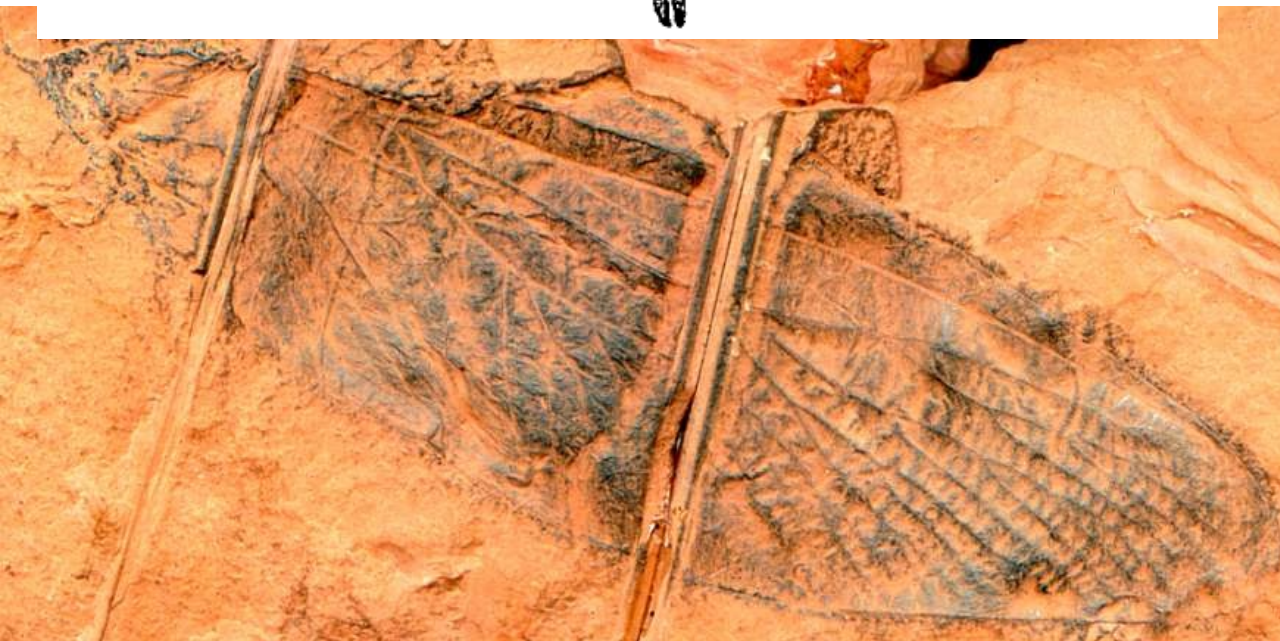
## Souše:



## Hmyz

(křídla – z žaberních přívěsků při terestrializaci,  
Palaeodictyoptera neskládají,  
Neoptera – perm – skládají)

Největší karbonský hmyz představovala obrovská vážka *Meganeura monyi* (rozpětí křídel až 75 cm)



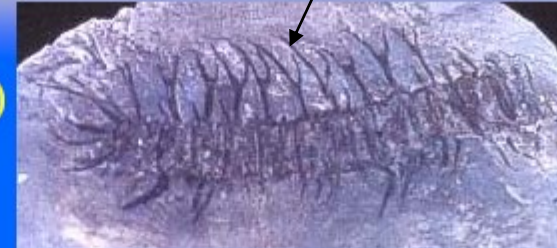
(fosilní otisk křídla)

## Další ukázky (otisky) svrchnokarbonských tracheat:

mnohonožky

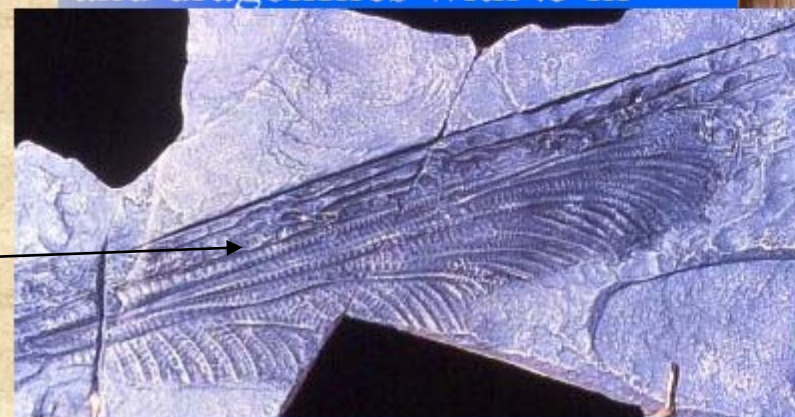
stonožky

Late Pennsylvanian  
myriapod (millipede)

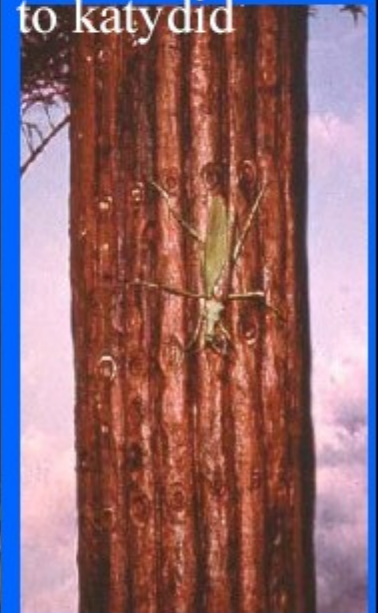


Late  
Pennsylvanian  
centipede from  
Mazon Creek

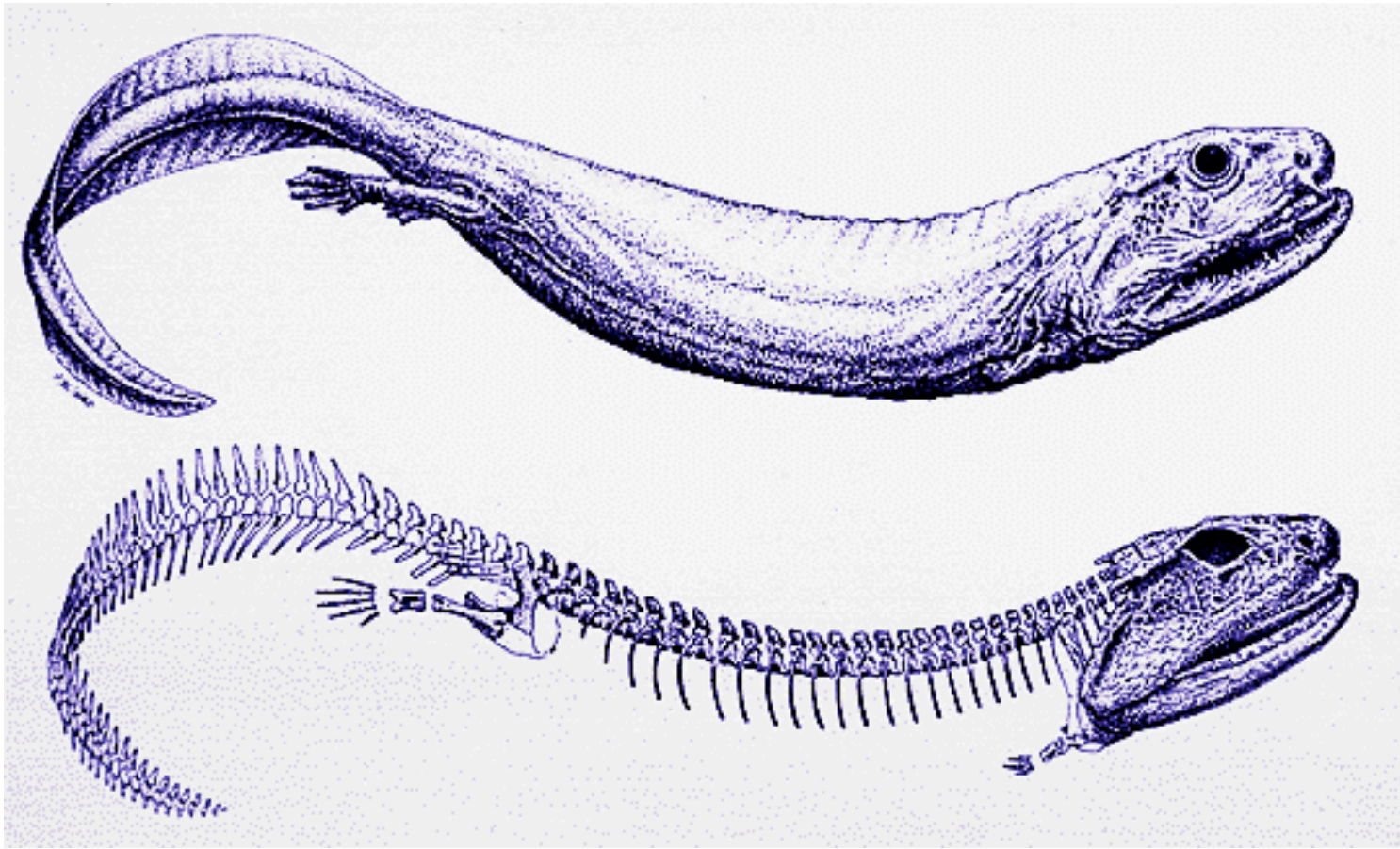
Age of Cockroaches (15 cm)  
and dragonflies with .5 m



Insect similar  
to katydid



# Rozvoj moderních obojživelníků



*Crassigyrinus scoticus*, spodní karbon, Skotsko,  
nejstarší známý moderní obojživelník, ? vztah k  
vráskozubým

# Amphibia, Labyrinthodontia

Karbon – věk obojživelníků, převážně dravci.



***Eryops*, labyrinthodontní obojživelník (vráskozubí), svrchní karbon S. Ameriky,  
labyrinthodonti směřovali k savcovitým plazům**



*Discosauriscus pulcherrimus* (Fritsch, 1879), Labyrintodontia,  
boskovická brázda, perm



kostra



model



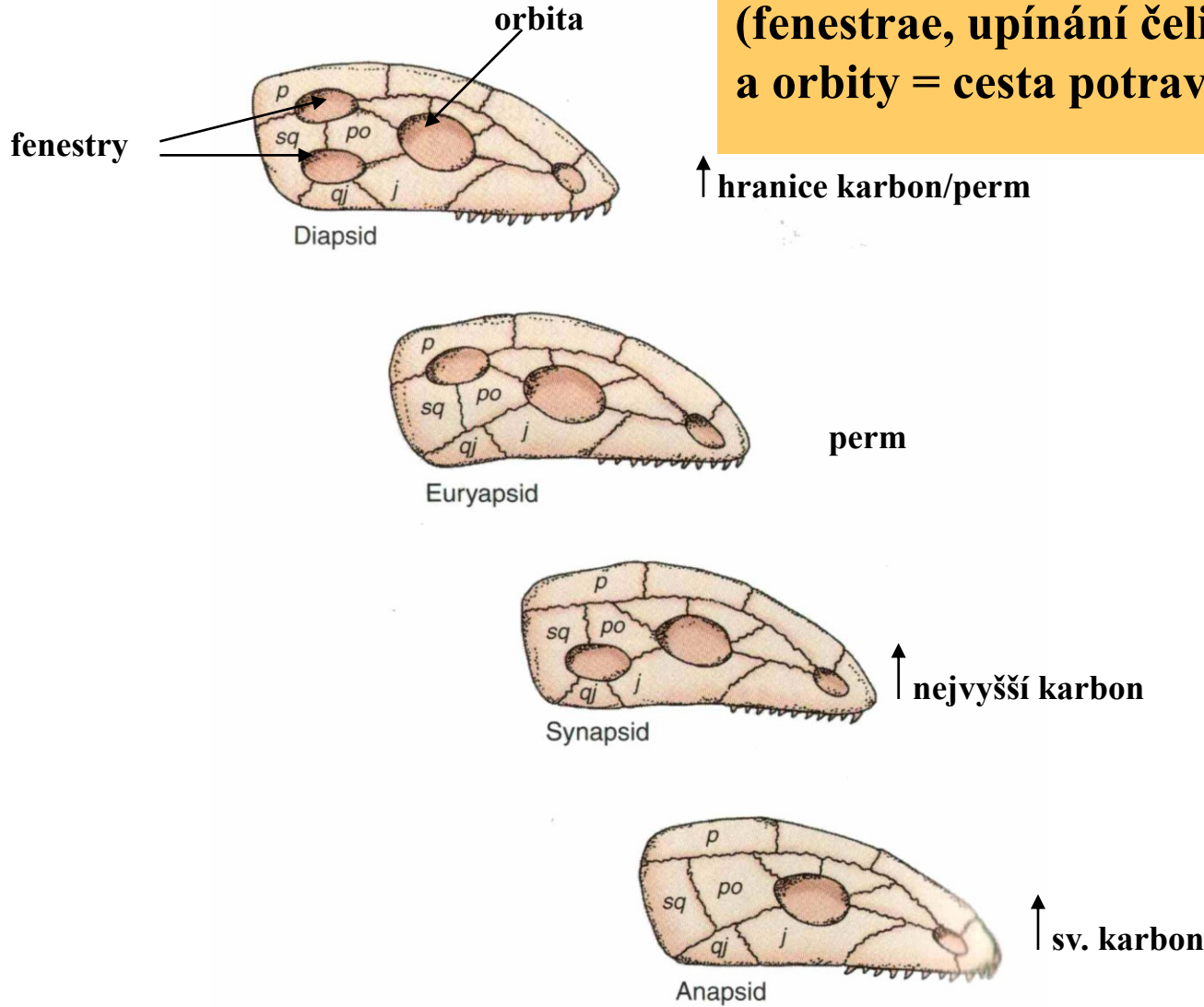
*Discosauriscus austriacus*,  
sp. perm, Drválovice

***Discosauriscus*, perm, (např. Boskovická brázda)**



*Discosauriscus* sp., rekonstrukce – krytoplebci, obojživelníci, perm  
(např. Boskovická brázda, Bačov)

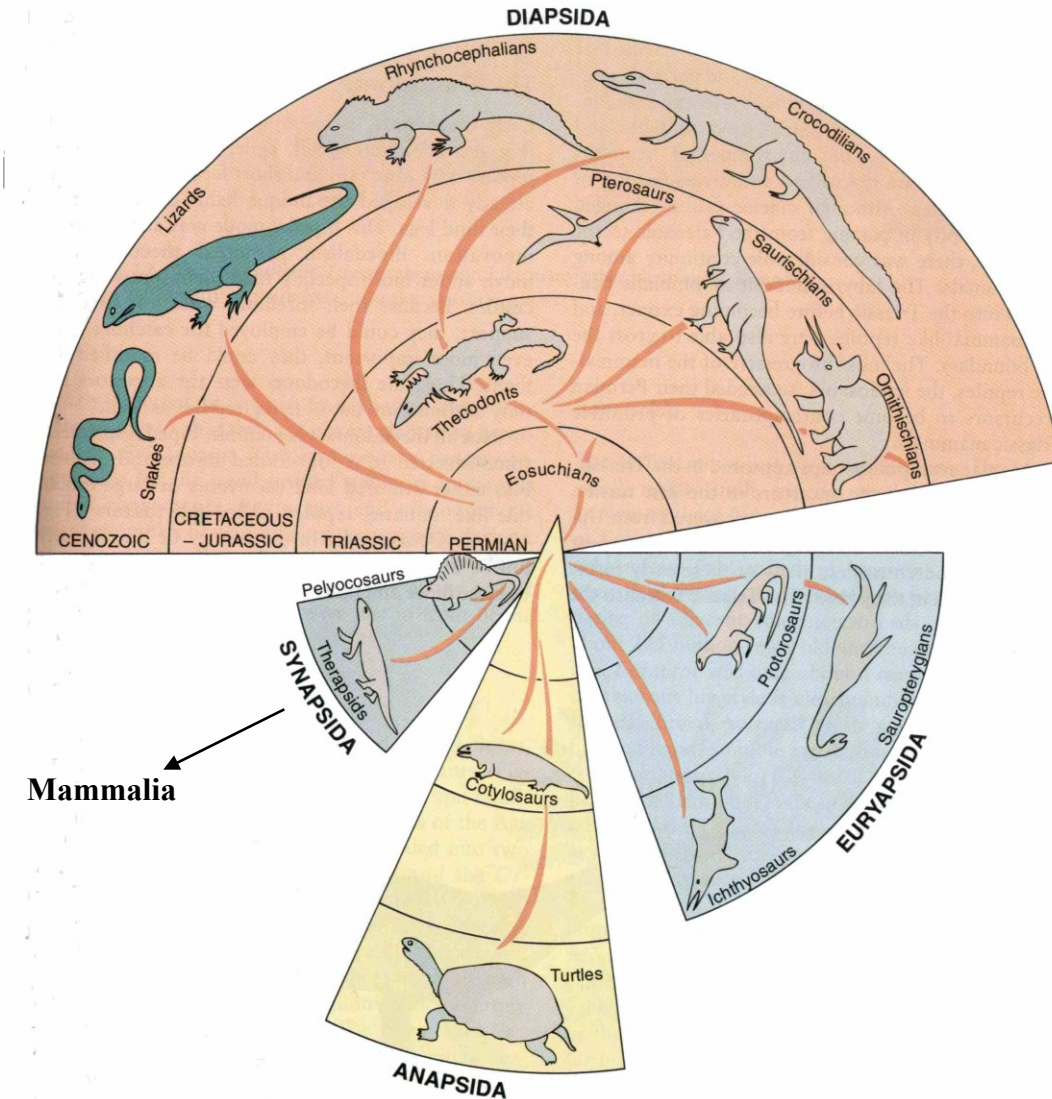
# Stavba plazí lebky, vztah spánkových jam (fenestrae, upínání čelistních svalů) a orbity = cesta potravních strategií



**FIGURE 12–23** Reptile skull types. (p, parietal; sq, squamosal; po, postorbital; j, jugal; qj, quadratojugal.)

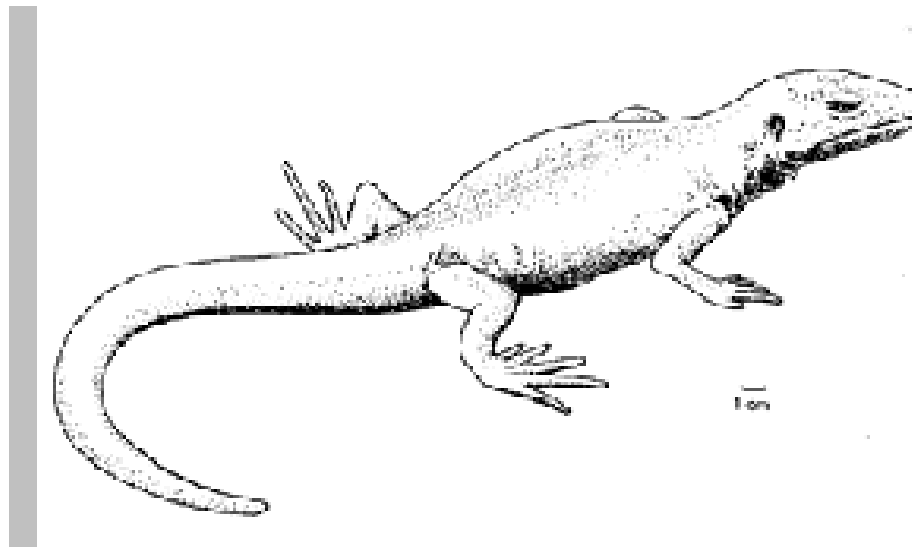
💡 In which of the above groups are dinosaurs placed?

# Evoluce a velké skupiny plazů

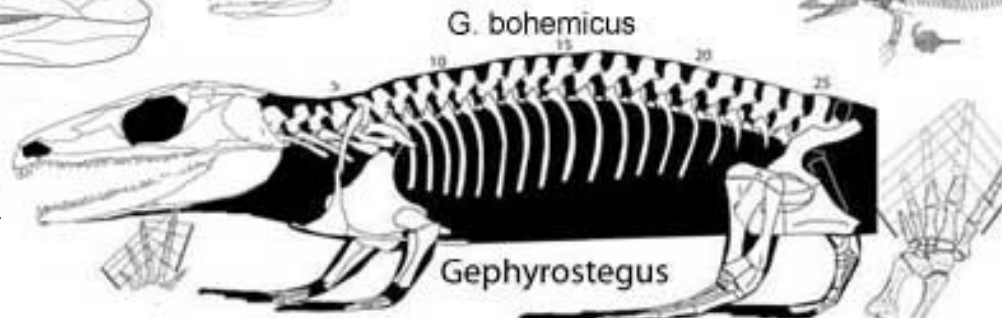
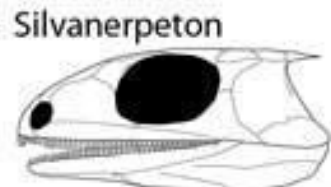


**FIGURE 12–24** Evolution and general classification of reptiles. In this classification, reptiles are grouped according to the position and number of temporal openings in the skull (see Fig 12–23). Anapsida have no openings. Diapsida have two, Synapsida have one located low on the skull, and Euryapsida have one located higher on the skull. Rhynchocephalians, crocodilians, pterosaurs, saurischians, ornithischians, and thecodonts are diapsids of the superorder Archosauria. (From Colbert, E. H. 1969. Evolution of the Vertebrates. New York: John Wiley & Sons.)

## V karbonu zesilují plazí znaky



*Gephyrostegus*, Amphibia, Reptiliomorpha, karbon



*Gephyrostegus*

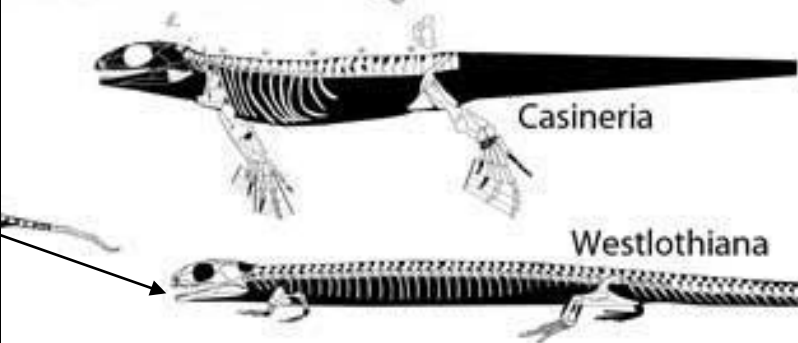


*G. watsoni*

*G. bohemicus* – sv. karbon, Čechy, blízký k amniotům.

*Westlothiana lizzae*, sp. karbon, Skotsko, blízká k labyrinthodontům a plazům.

(skupiny dokumentující mozaikovou evoluci od obojživelníků k plazům – Reptiliomorpha)

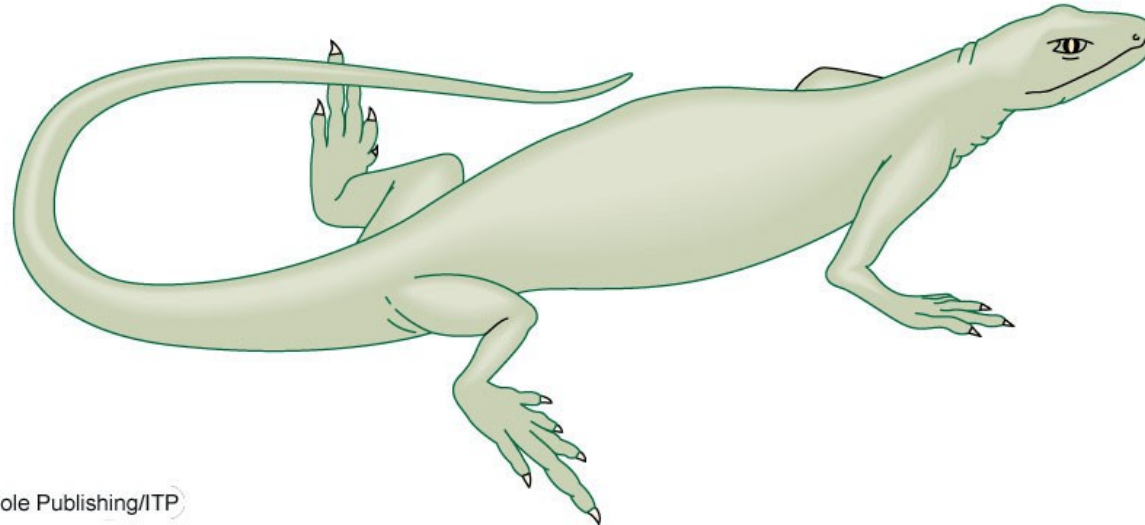
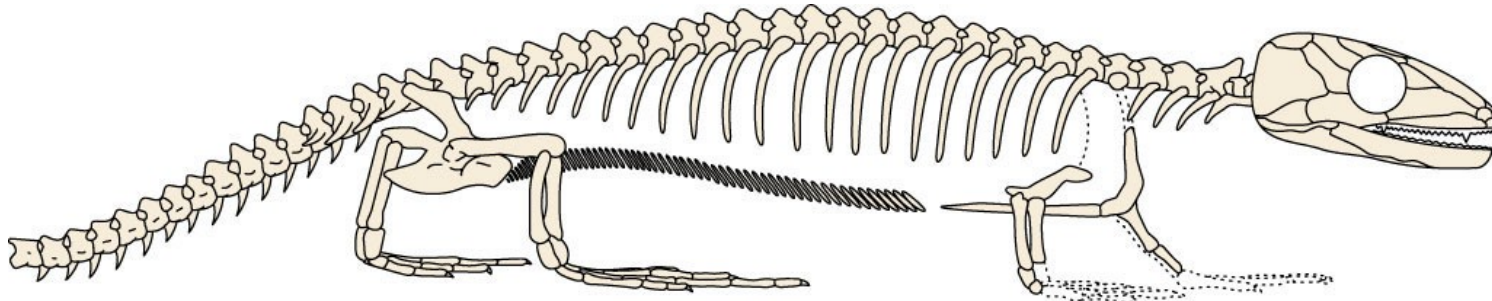


*Westlothiana*



# Úsvit plazů

- Rekonstrukce a kostra druhu *Hylonomus lyelli* ze svrchního karbonu – cca 30 cm (Captorhinomorpha)





*Hylonomus lyelli*

(horní čelist, Nova Scotia, Ca,  
Nat. Hist. Mus., 2012)



(část trupu, UUA, 2009)

***Hylonomus* – jeden z prvních známých amniotů  
(rozmnožování  
mimo vodní  
prostředí)**



**T R I A S**

**P E R M**

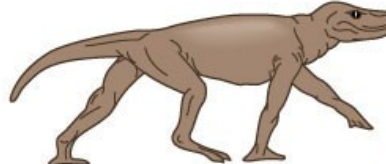
**K A R B O N**

k dinosaurům, pterosaurům a krokodýlům

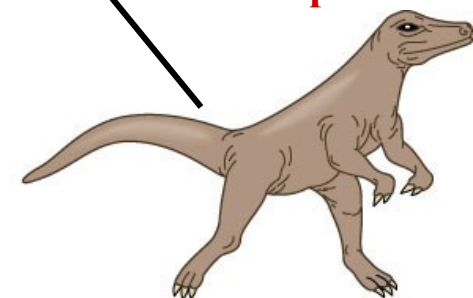
k savcům

synapsidní

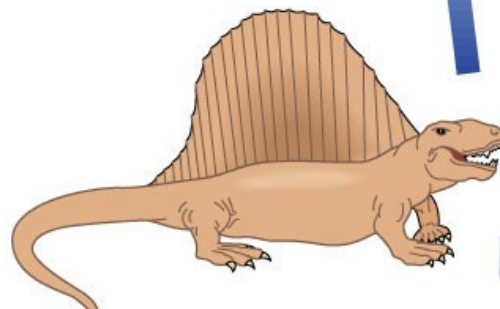
diapsidní



Therapsids  
(Permian–Triassic)



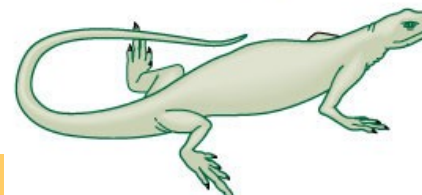
Thecodontians  
(Permian–Triassic)



Pelycosaurs  
(Pennsylvanian–Permian)

synapsidní

anapsidní

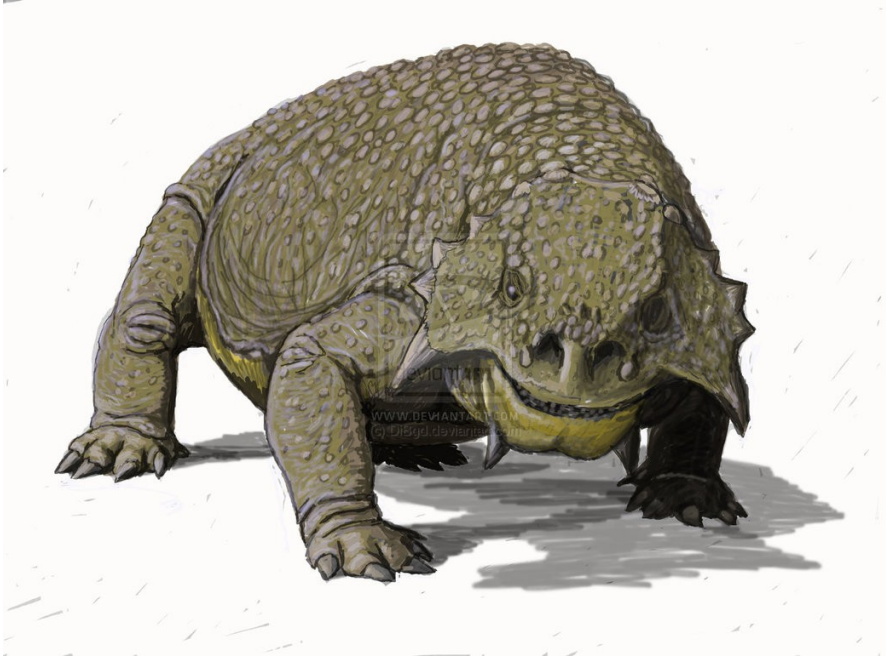


Protorothyrids Captorhinids  
(Pennsylvanian–Permian)

Během karbonu vznikají z obojživelníků plazi,  
z nichž se v triasu odštěpují savci

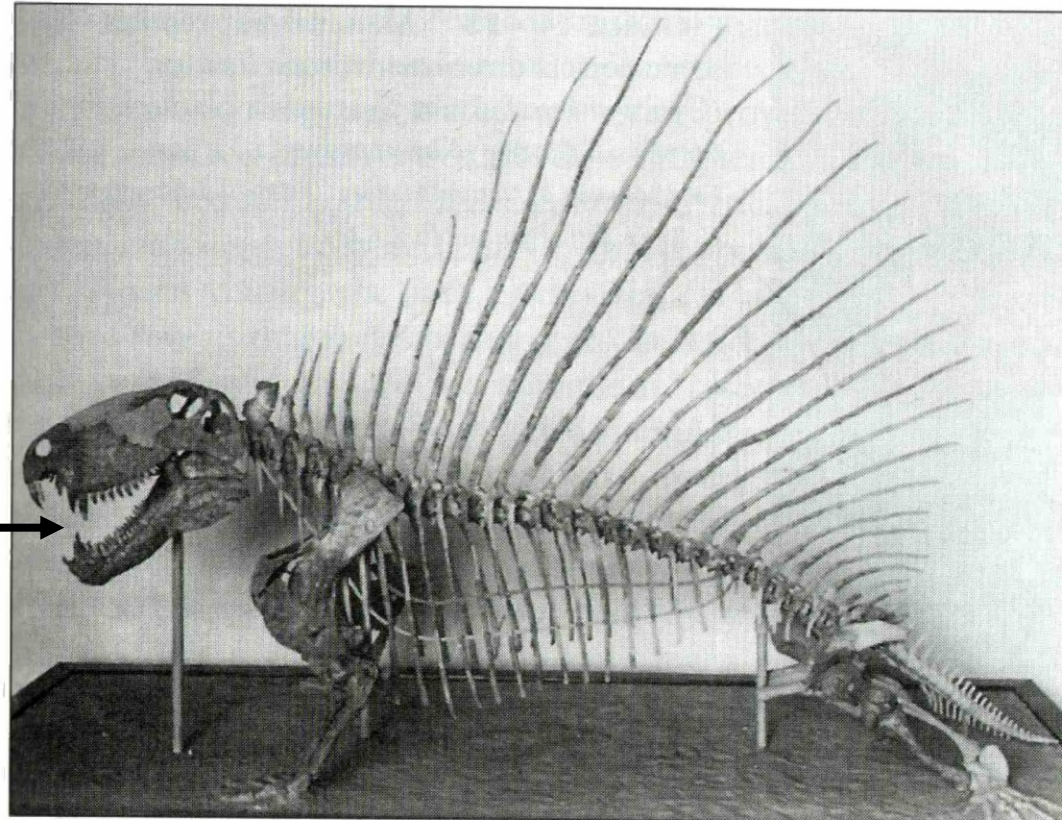


*Labidosaurus hamatus*, Captorhina, Anapsida, sp. perm, Oklahoma, Arroyo Fm.



***Scutosaurus* (Anapsida, Pareiasauroidae), perm,  
~ velikost slona, herbivorní (viz zuby)**

## Cestu k savcům dokládají:



Kostra permského pelykosaura (diferenciace chrupu), *Dimetrodon gigas*, perm

**FIGURE 10–82** Mounted skeleton of the Permian “sail-reptile” *Dimetrodon gigas*. The tail was actually somewhat longer. (Courtesy of the U. S. National Museum of Natural History, Smithsonian Institution.)

Pre- € € O S D M P Pr Tr J K T Q

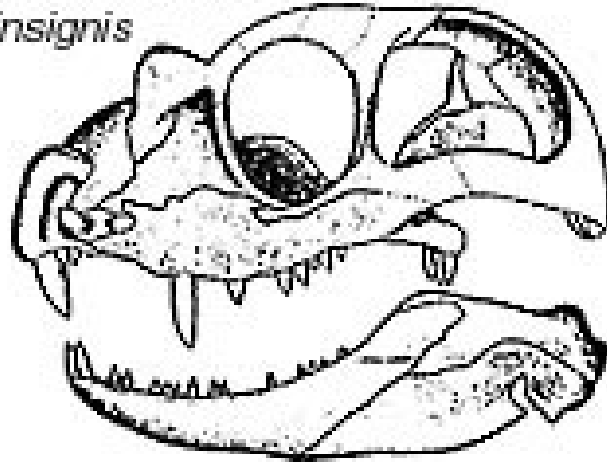
## Rekonstrukce pelykosaurů v krajině



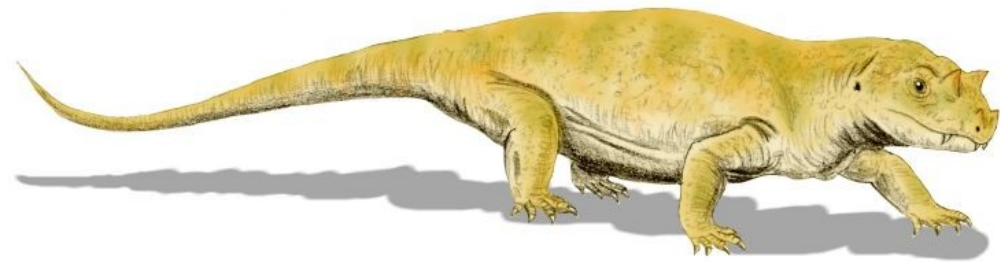
*Edaphosaurus* - zástupce pelykosaurií  
ještě jednou, herbivorní



*Tetraceratops  
insignis*



lebka



interpretace

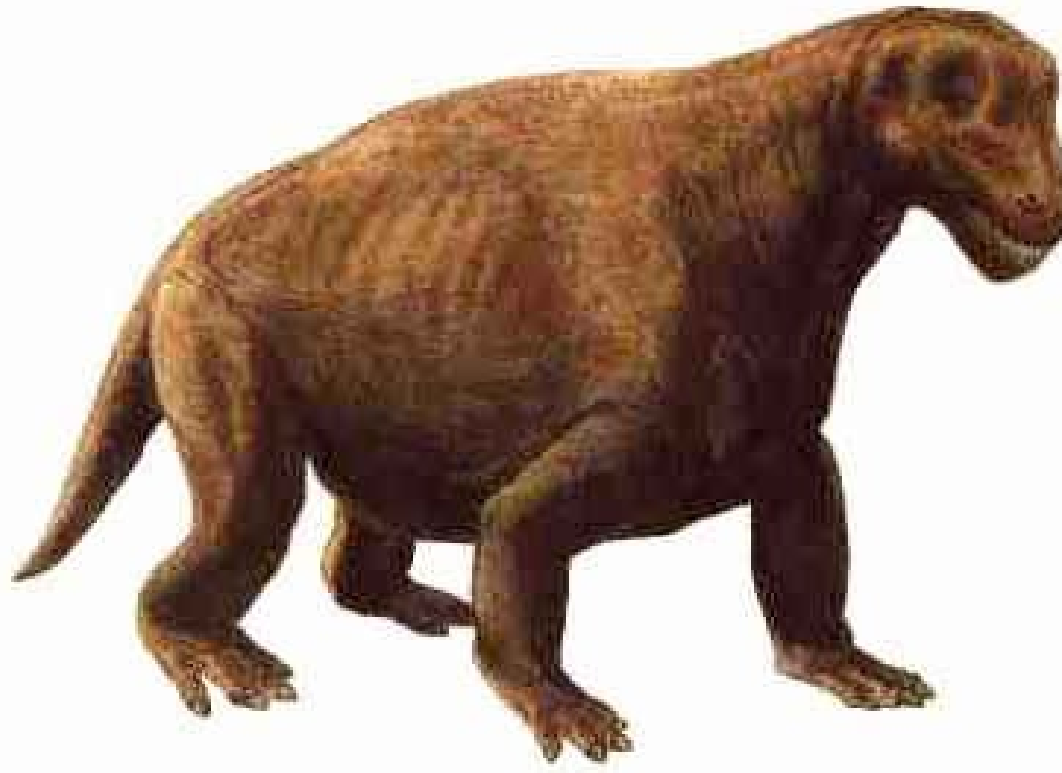
*Tetraceratops insignis*, sp. perm, Texas,  
Sev. Amerika – nejstarší známý therapsid,  
reprezentuje přechod mezi pelikosaury a therapsidy  
? ještě herbivorní

(Tamura, 2007)

Therapsida – nahradila koncem sp. permu pelykosaury,  
byla zřejmě endotermní, silná diferenciace chrupu



***Sauroctonus* – synapsidní lebka, silný již diferencovaný chrup – jeden z největších permských dravců (Rekonstrukce J. Augusta - Z. Burian)**



***Moschops*** (Therapsida, býložravec, cca 3 m)

# Blízký cynodontům

*Lycaenops, Gorgonopsia,  
Therapsida, perm*



# Savčí znaky přibývají



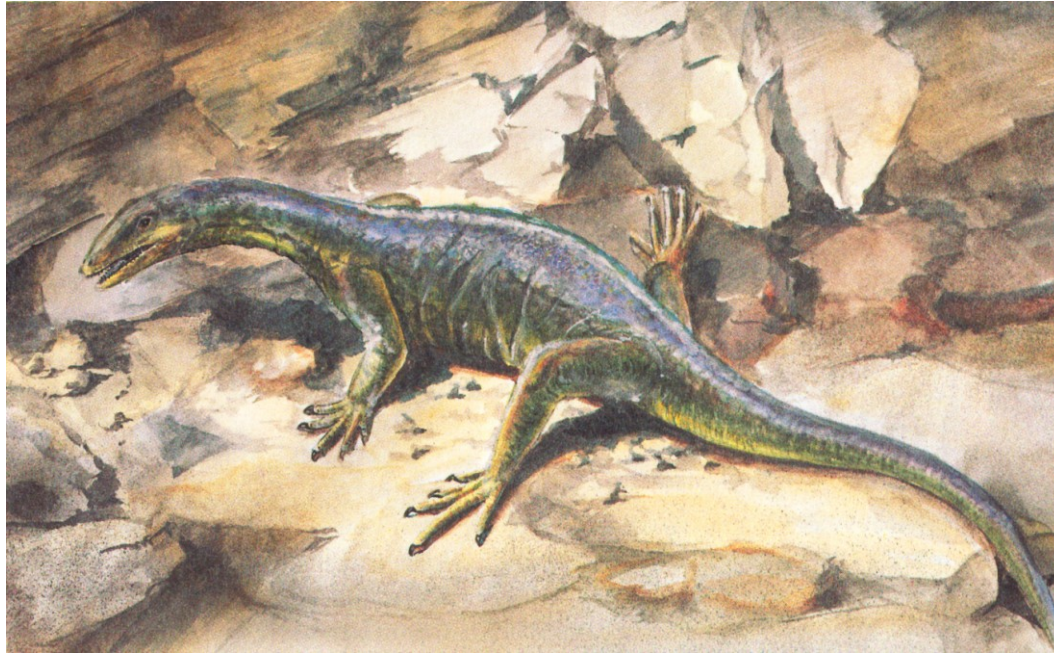
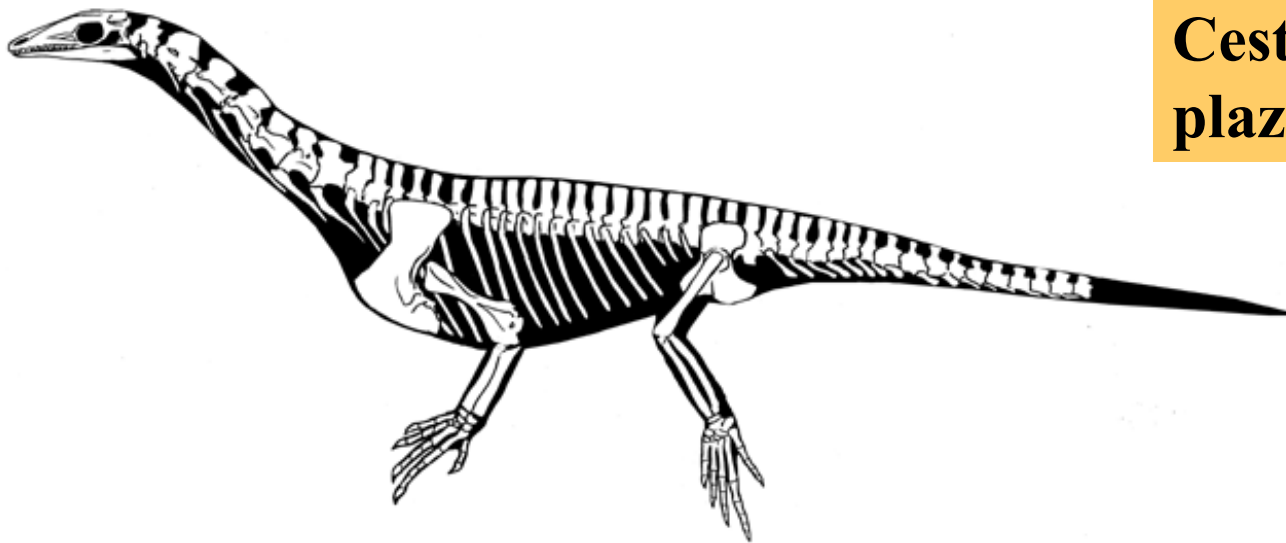
*Thrinaxodon*, Therapsida, Cynodontia, perm



*Titanophoneus*, Therapsida, perm

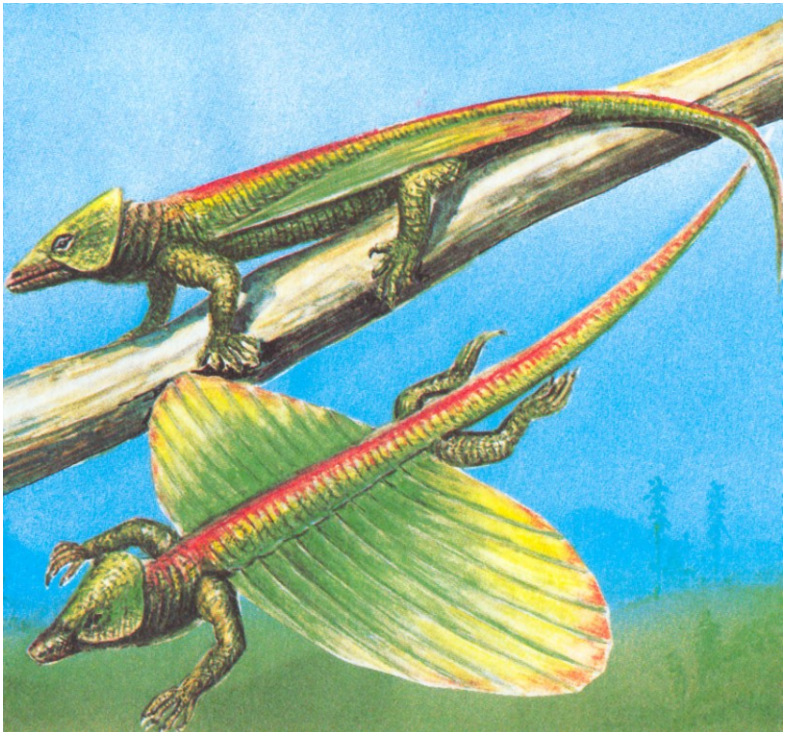


Cesta k dalším  
plazům

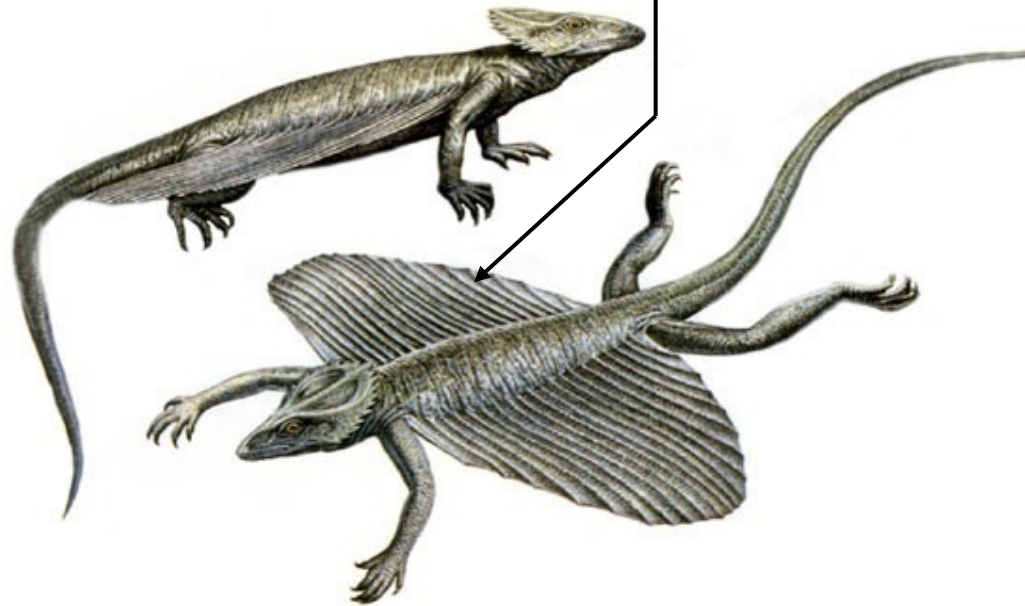
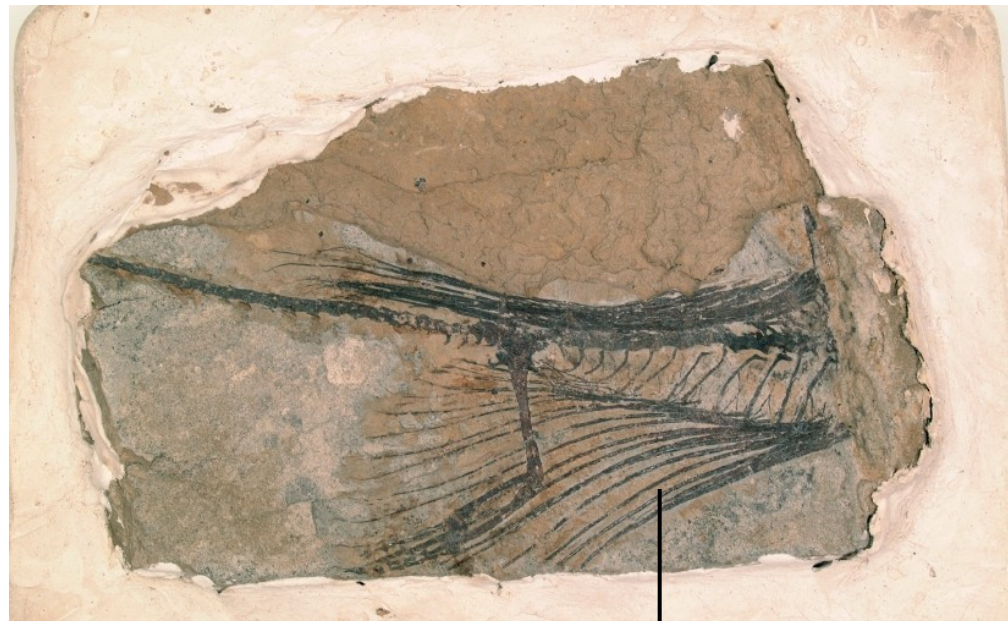


***Protosaurus*, Diapsida, archosauromorfní amniot, svrchní perm,  
představitel výchozích forem k dinosaurům a krokodýlům**

**Ve svrchním permu ovládli  
plazi klouzavý let:**



*Weigeltisaurus jaekeli*, sv. perm Evropy



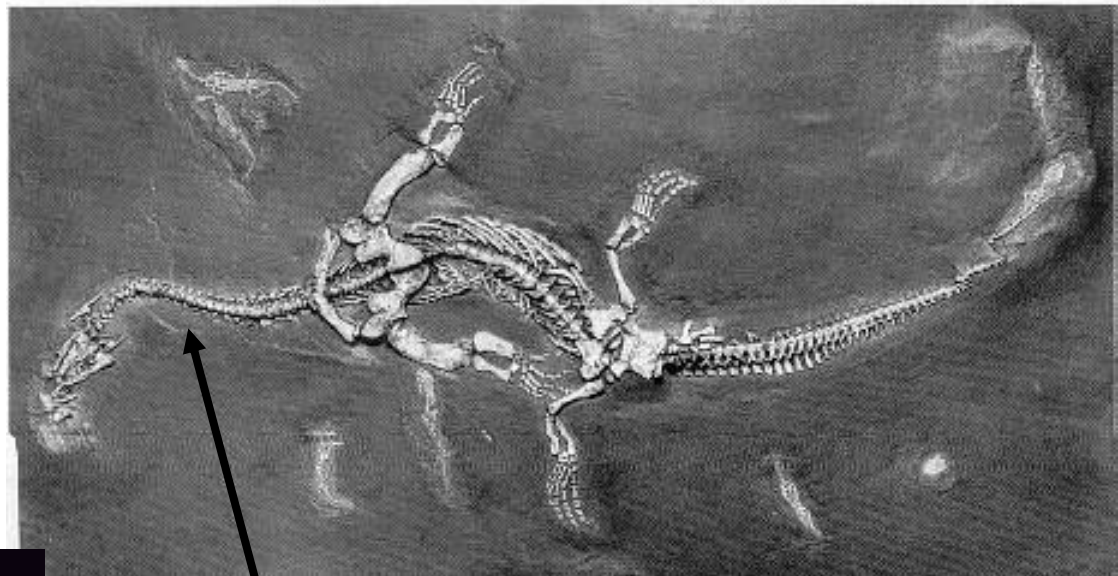
*Coelurosauravus*, sv. perm, Madagaskar



Plazi se vracejí ještě v permu zpět do vody prostřednictvím obojživelné skupiny vodních euryapsidních plazů („Euryapsida“)

Nothosauria:

rekonstrukce

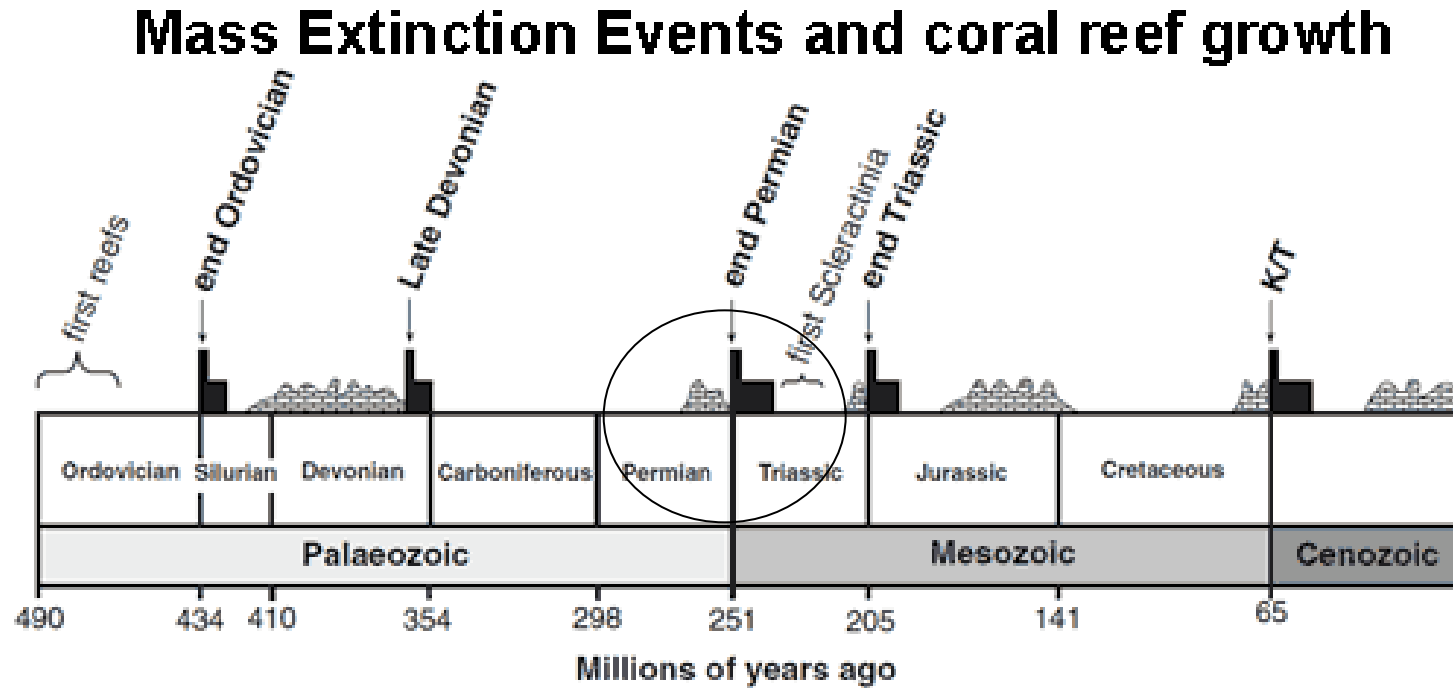


kostra, perm

většinou dlouhý sinusovitý krk

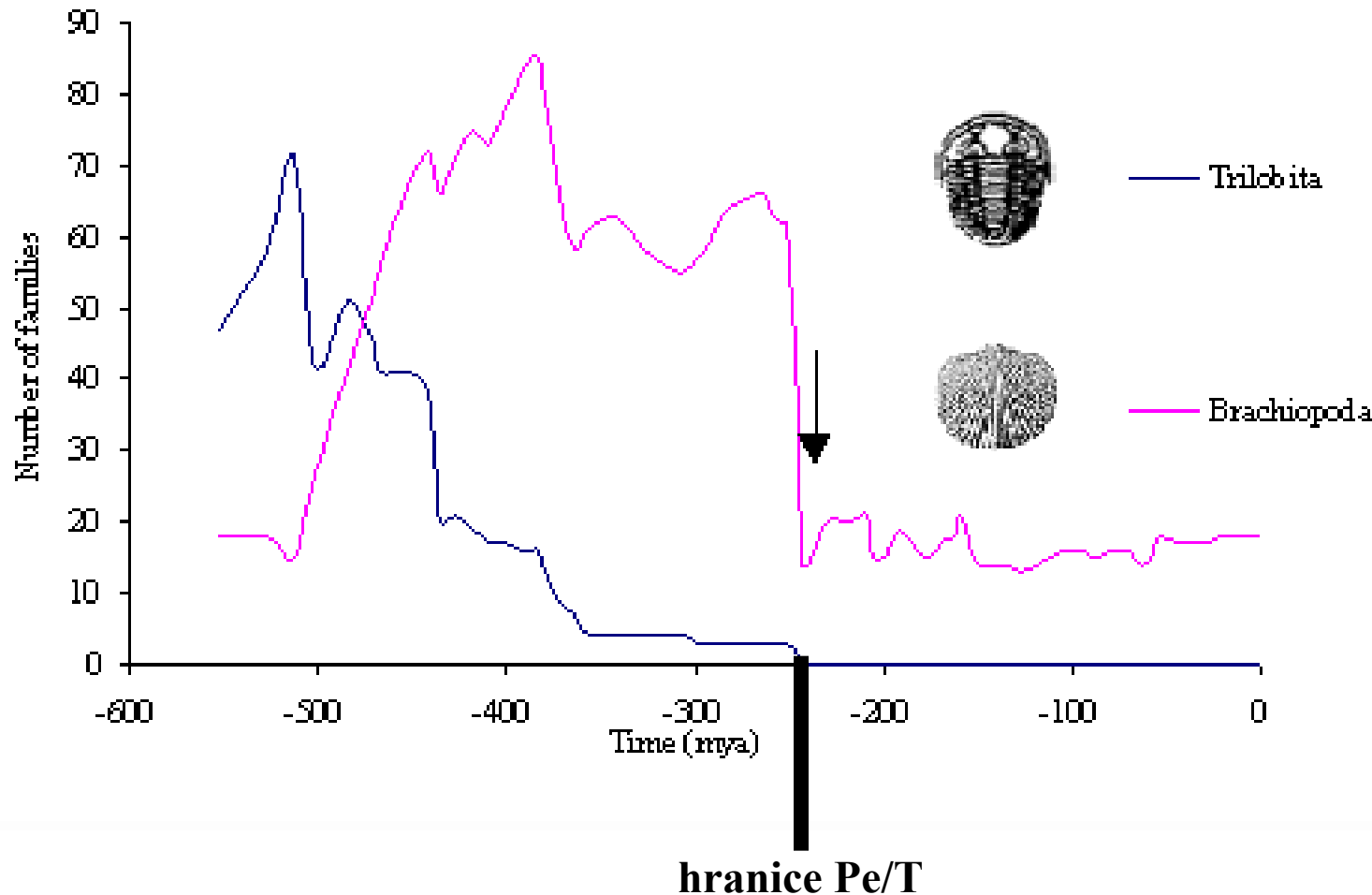
*Nothosaurus* sp.

**Pe-Ca = korálové rify až v závěru permu,  
poté decimace na hranici Pe/Tr**

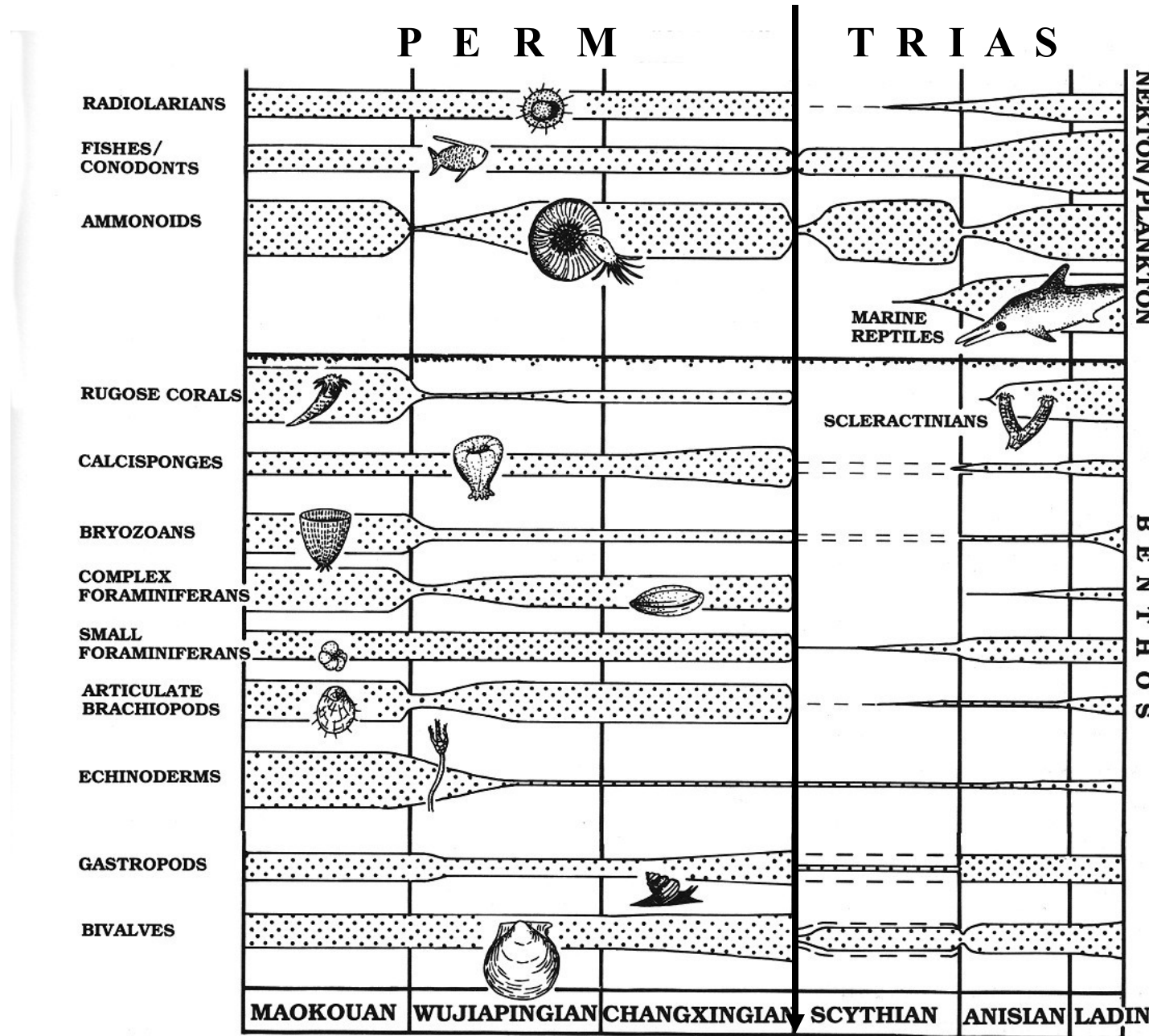


Závěr permu představuje největší devastaci života na Zemi. Graf dvou skupin (Trilobita, Brachiopoda) ukazuje sílu dopadu hromadného vymírání

Figure 4 Showing the effect of the P-T extinction, indicated with an arrow, upon the diversification levels of two organismal groups (Benton, 1993)



# Souhrnný diagram diverzity mořské bioty okolo hranice perm/trias



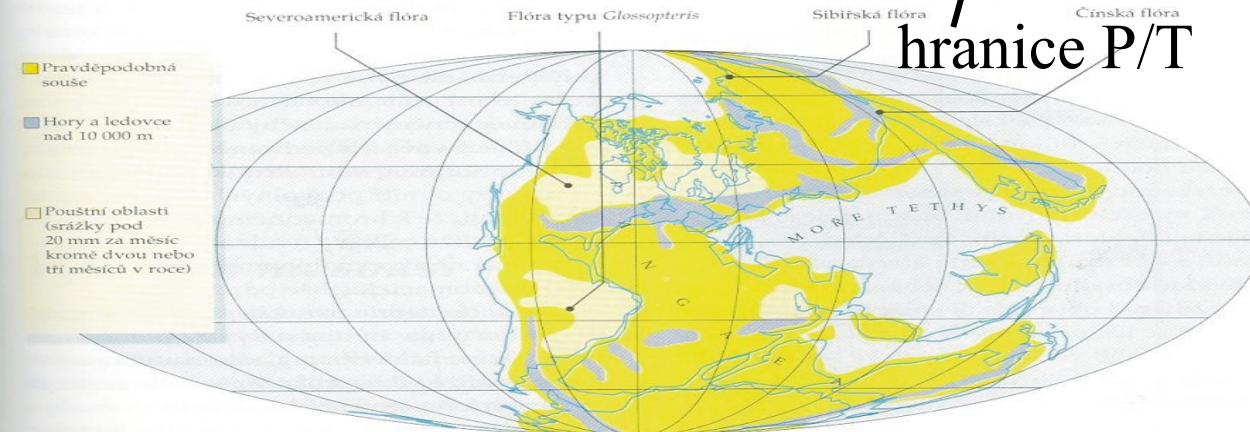
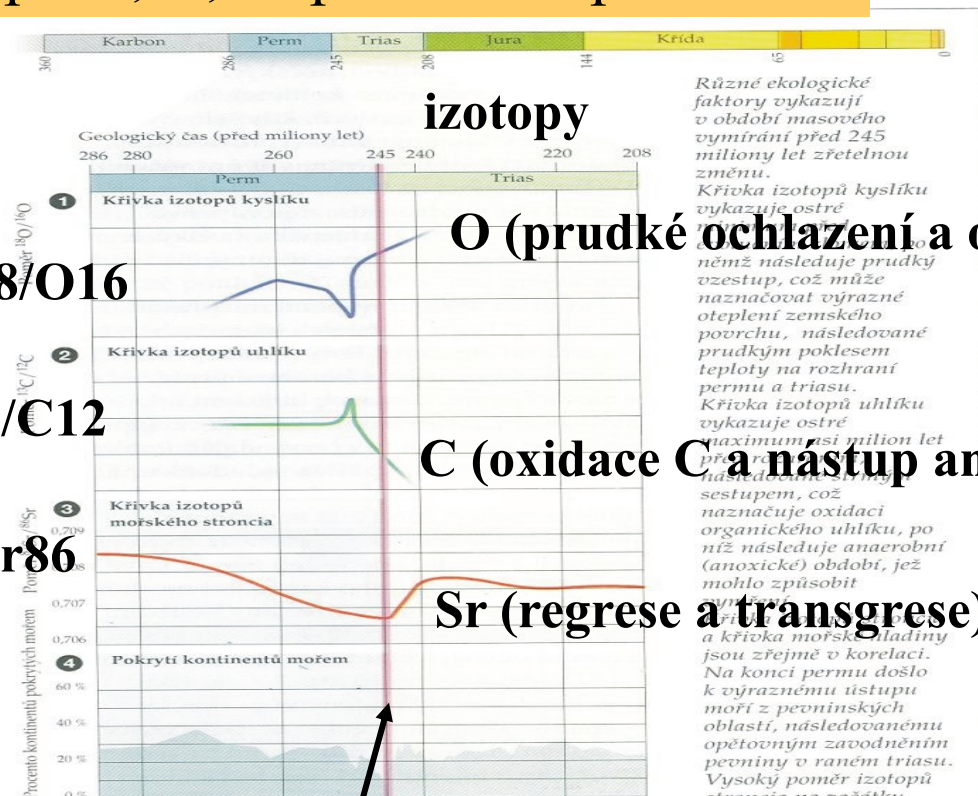
# Změny křivék izotopů O, C, Sr při hranici perm/trias

## GLOBÁLNÍ SCHÉMATA

Velký krach před 245 miliony let mohl být způsoben neobvyklým stavem planety v oné době. V pozdním permu se kontinenty oddělené v předchozím období začaly spojovat do obrovské pevniny zvané Pangaea. To mělo jednoduchý geometrický následek v tom, že se zmenšila plocha mělkých příbřežních moří; když se dva kontinenty spojily, zmizel mezi nimi mořský spoj a s ním i většina života v oblasti.

Na souči byly následky spojování kontinentů stejně pronikavé. Ve vnitrozemí se tvořily obrovské pouště, zřejmě prakticky bez života, jako následek odloženosti od moře. Na těchto pouštích kolísala teplota v velmi širokém rozmezí. Horská pásma, vznikající srážkou dvou kontinentů, byla oblastí nízkých teplot a možná že se na nich tvořily ledovce. Všeobecně se na zeměkouli výrazně projevovala různá roční období. To všechno mohlo způsobit dlouhodobou úpravu rozmanitosti fauny i flory.

Tyto fyzikální projevy bylo možno určit na základě paleoklimatických dokladů v horninách z pozdního permu i z teoretického modelování. Každý z těchto typů klimatických změn mohl vést k hromadnému vymření.

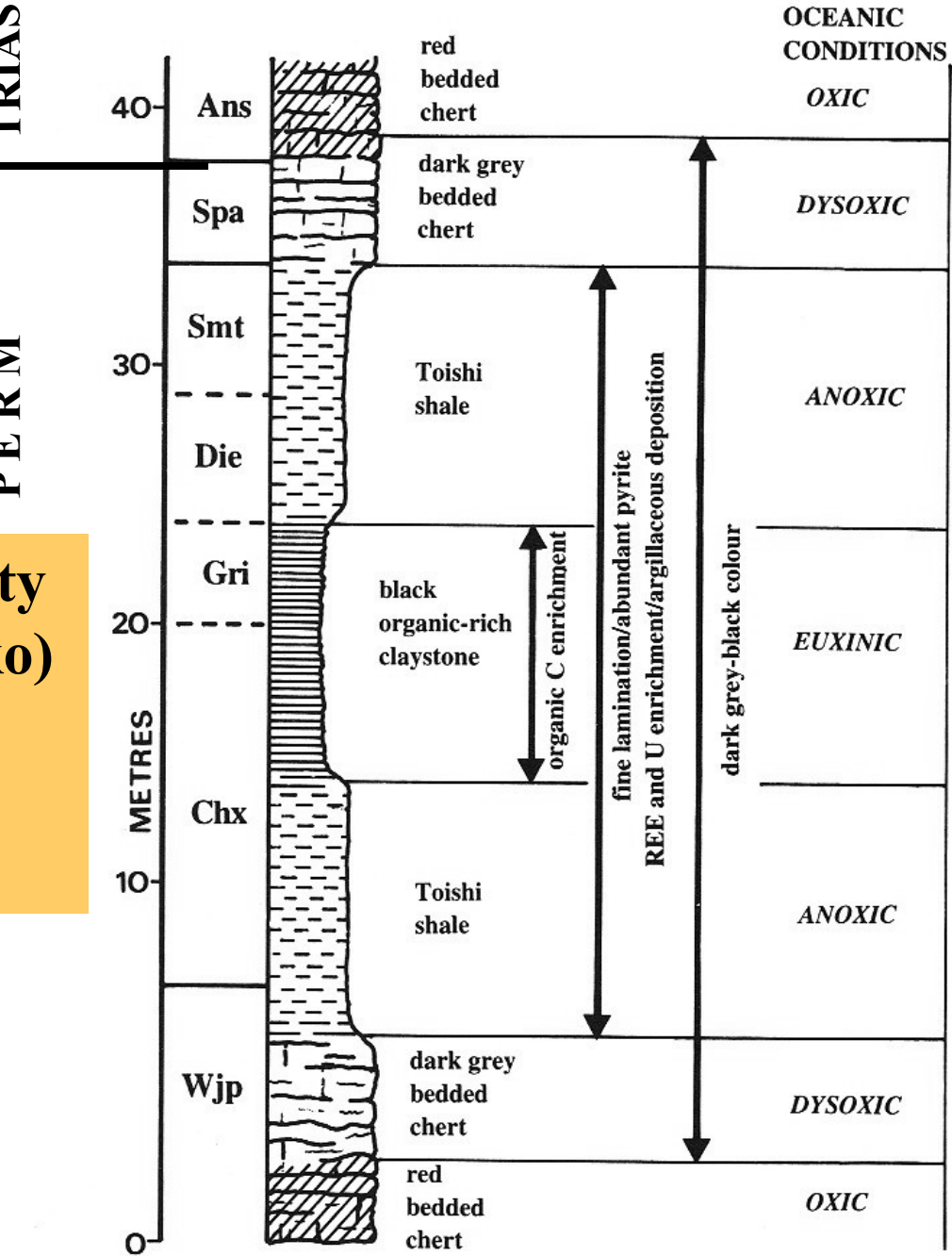


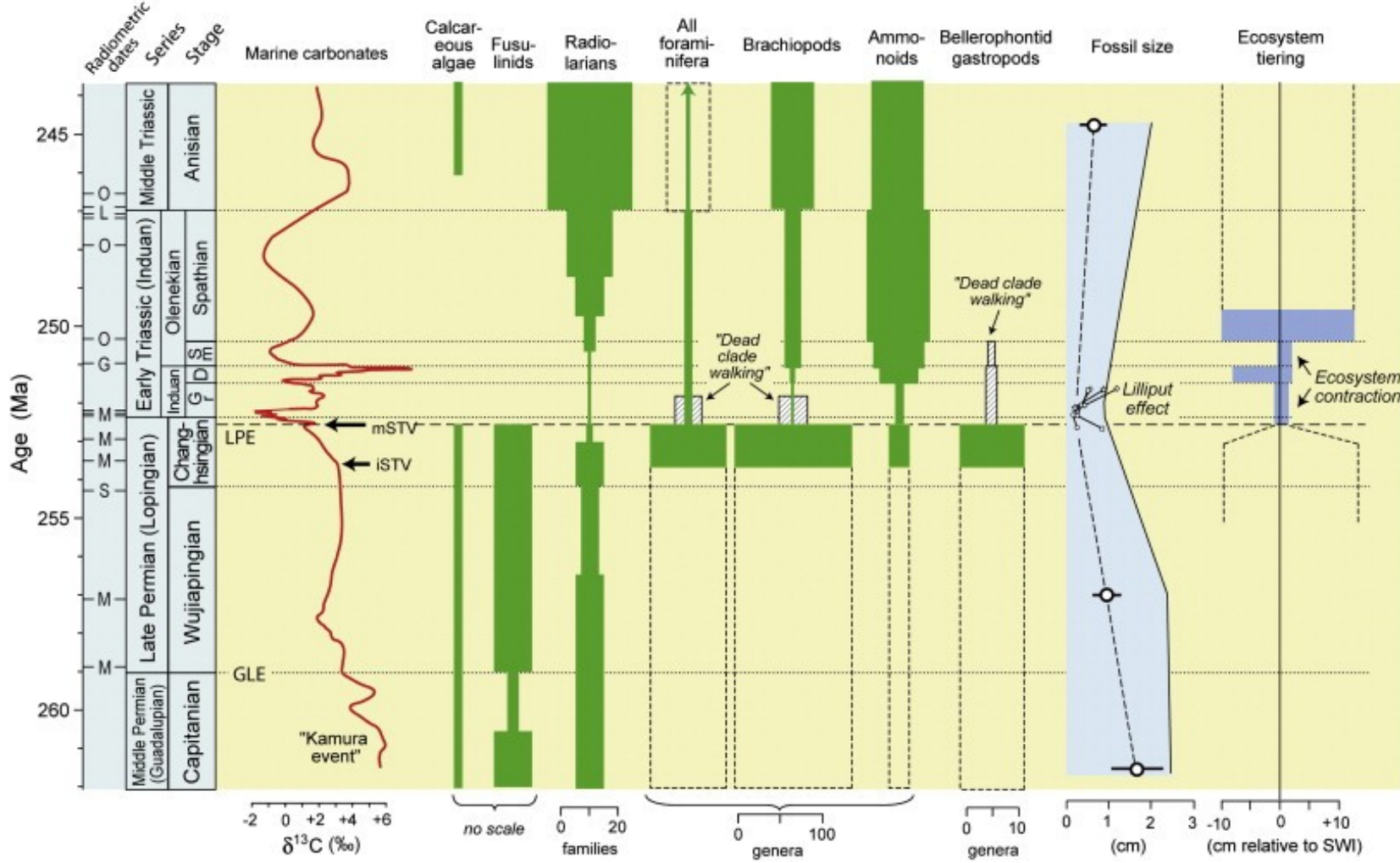
Různé ekologické faktory vykazují v období masového vymírání před 245 miliony let zřetelnou změnu. Křivka izotopů kyslíku vykazuje ostré pozitivní výkany, které následuje prudký vzestup, což může naznačovat výrazné oteplení zemského povrchu, následované prudkým poklesem teploty na rozhraní permu a triasu. Křivka izotopů uhlíku vykazuje ostré maximum asi milion let před rozhraním, následované sestupem, což naznačuje oxidaci organického uhlíku, po němž následuje anaerobní (anoxicke) období, jež mohlo způsobit výraznou regresu a křivka mořské hladiny jsou zřejmě v korelacii. Na konci permu došlo k výraznému ustupu moří z pevninských oblastí, následovanému opětovným zavodněním pevniny v raném triasu. Vysoký poměr izotopů stroncia na začátku permu klesá v pozdním permu, ale prudce vystoupí po permovo-triaském rozhraní. To může mít souvislost s pohybem pevninských ker a s erozí suchozemských hornin.

NALEVO: Mapka světa v pozdním permu, ukazující kontinenty spojené do jediné pevninské masy zvané Pangaea. Vyskytovaly se tu čtyři typy flóry, poukazující na období, kdy byl zemský povrch rozdělen na čtyři hlavní kontinenty.

**Profil pelagickými sedimenty  
na hranici P/T (JZ Japonsko)  
ukazující výrazný úbytek  
kyslíku (Isozaki 1994), cca  
10% v atmosféře**

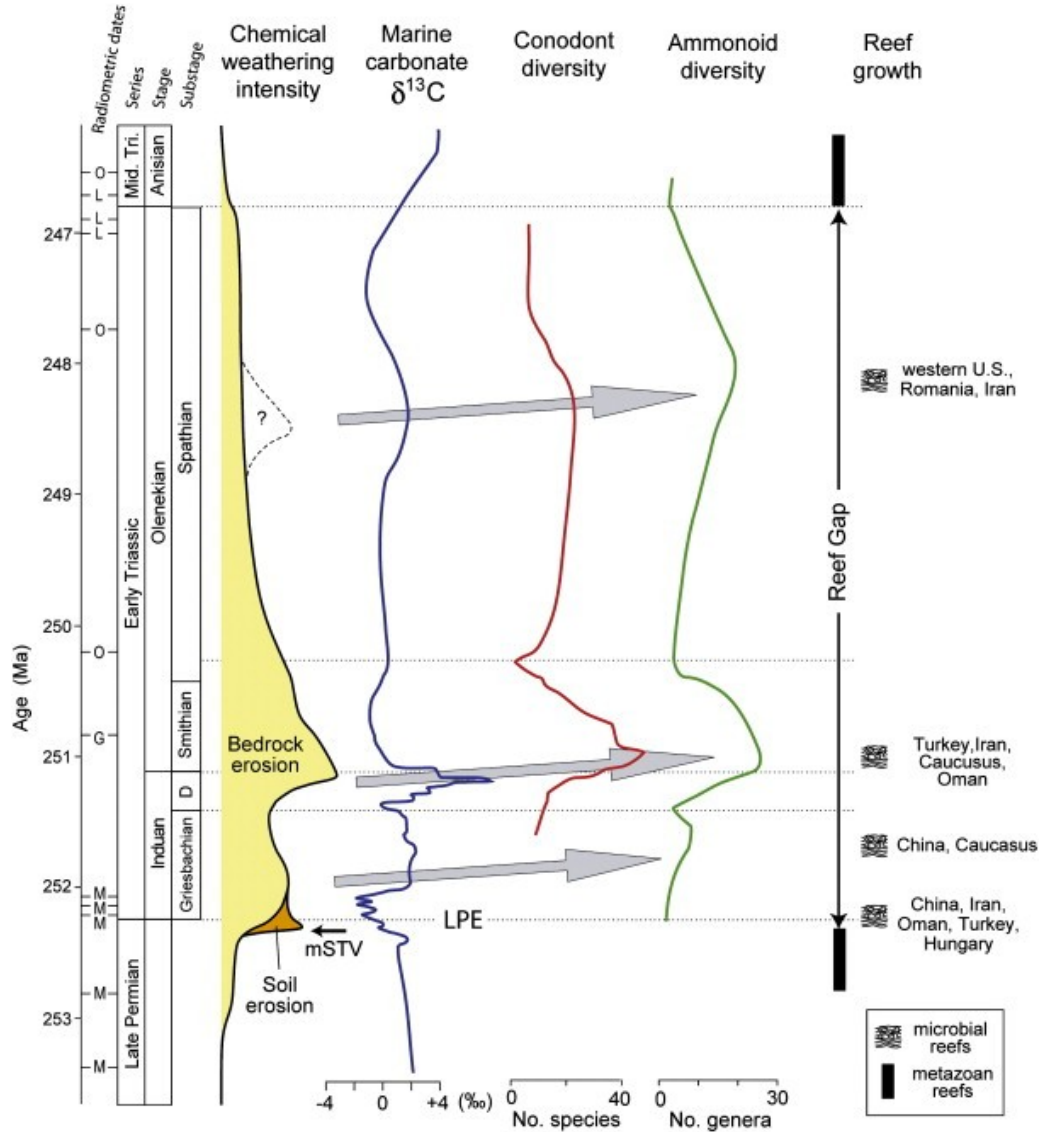
hranice Pe/T

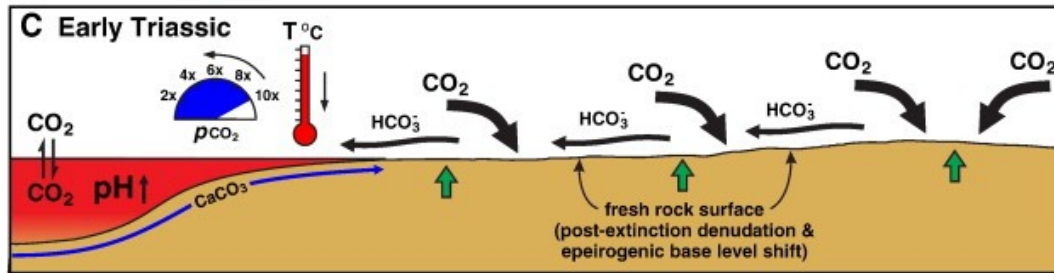
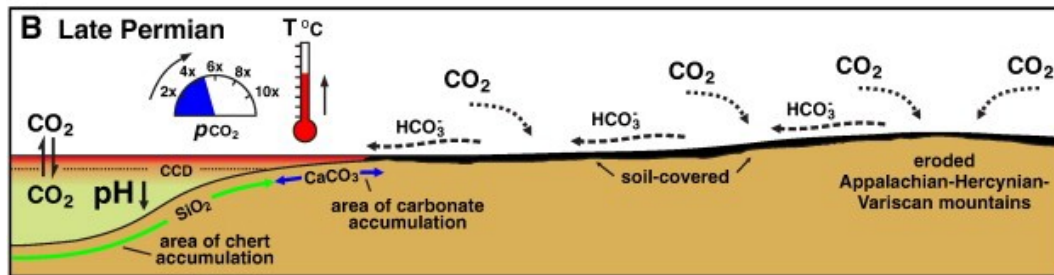
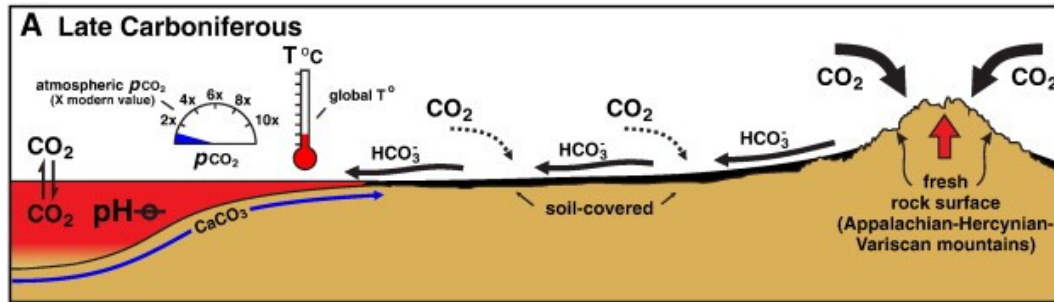




## Souhrn jevů kolem hranice P/T

T. Algeo et al. (2012), GLE – Guadalupian/Lopingian event; LPE – Latest Permian event; iSTV + mSTV – initial and main stage Siberian Traps Volcanisms; SW – sediment-water interface





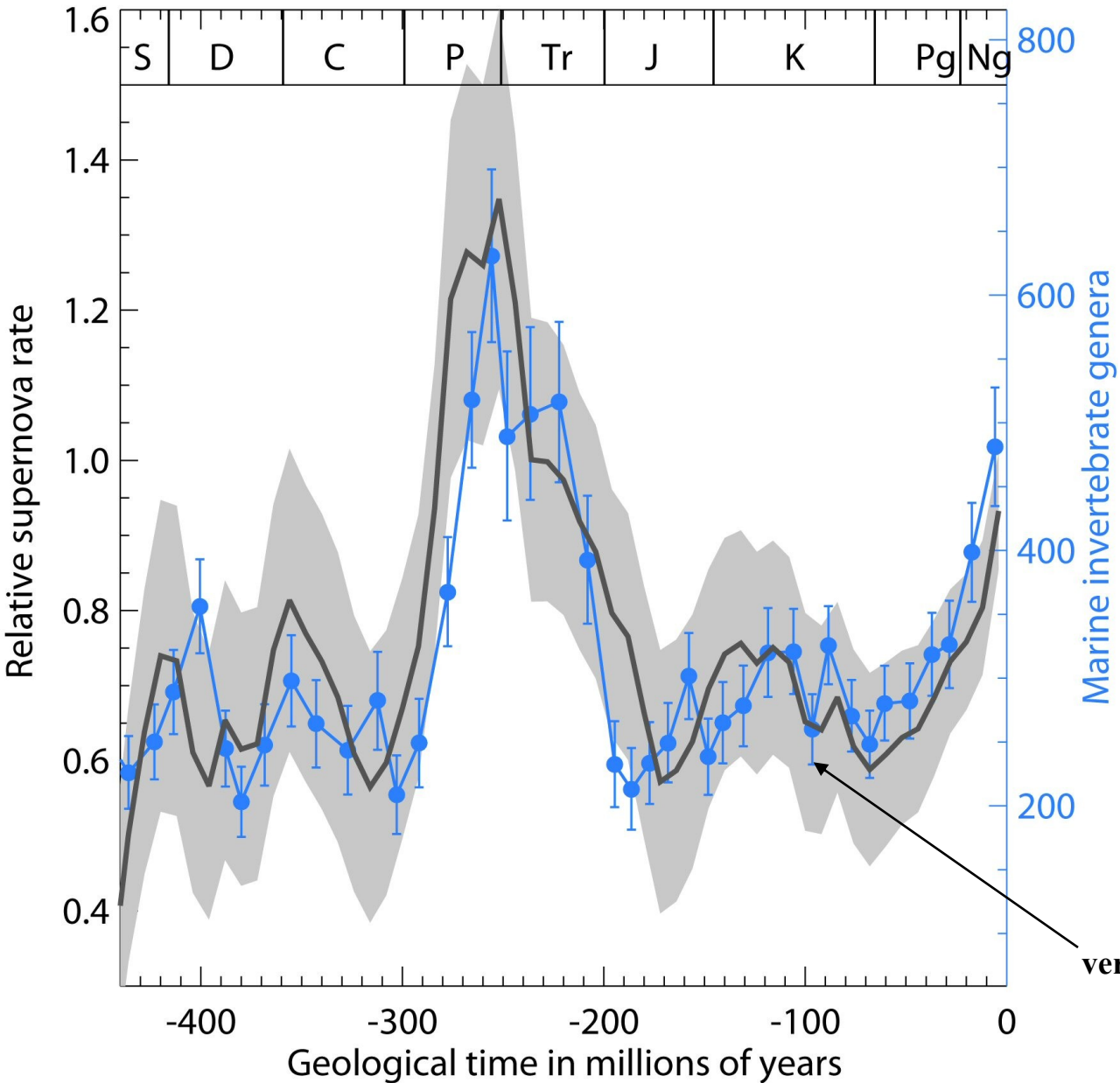
$\text{CO}_2$   $\downarrow$  atmosphere-ocean  $\text{CO}_2$  exchange

Ocean acidification  
 $\text{pH}\downarrow$   $\text{pH-e}$   $\text{pH}\uparrow$   
rising acidity buffered & stable declining acidity

$\text{CO}_2$  high Removal of atmospheric  $\text{CO}_2$  due to silicate weathering

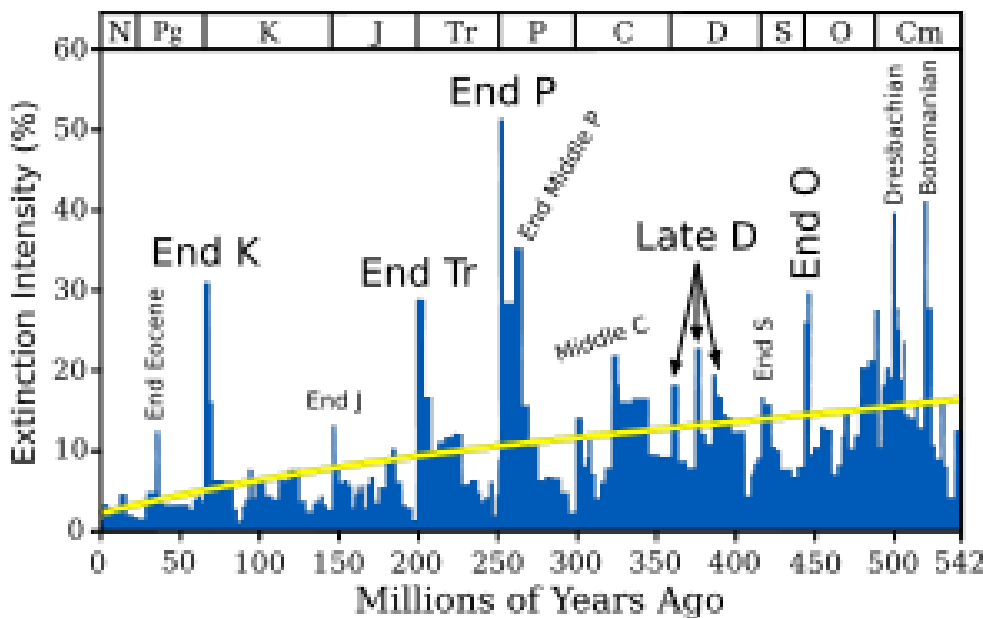
$\text{HCO}_3^-$  high  $\text{HCO}_3^-$  low  
 $\text{HCO}_3^-$  riverine flux to the ocean due to silicate weathering

Sea Level  
Lysocline  
CCD ... Calcite Compensation Depth (CCD)



Kosmická hypotéza,  
(kombinace výbuchu supernovy  
kolísání hladiny oceánu – desk.  
tektonika)  
(Svenmark, 2012)

## Marine Genus Biodiversity: Extinction Intensity



Sahni & Benton (2008)

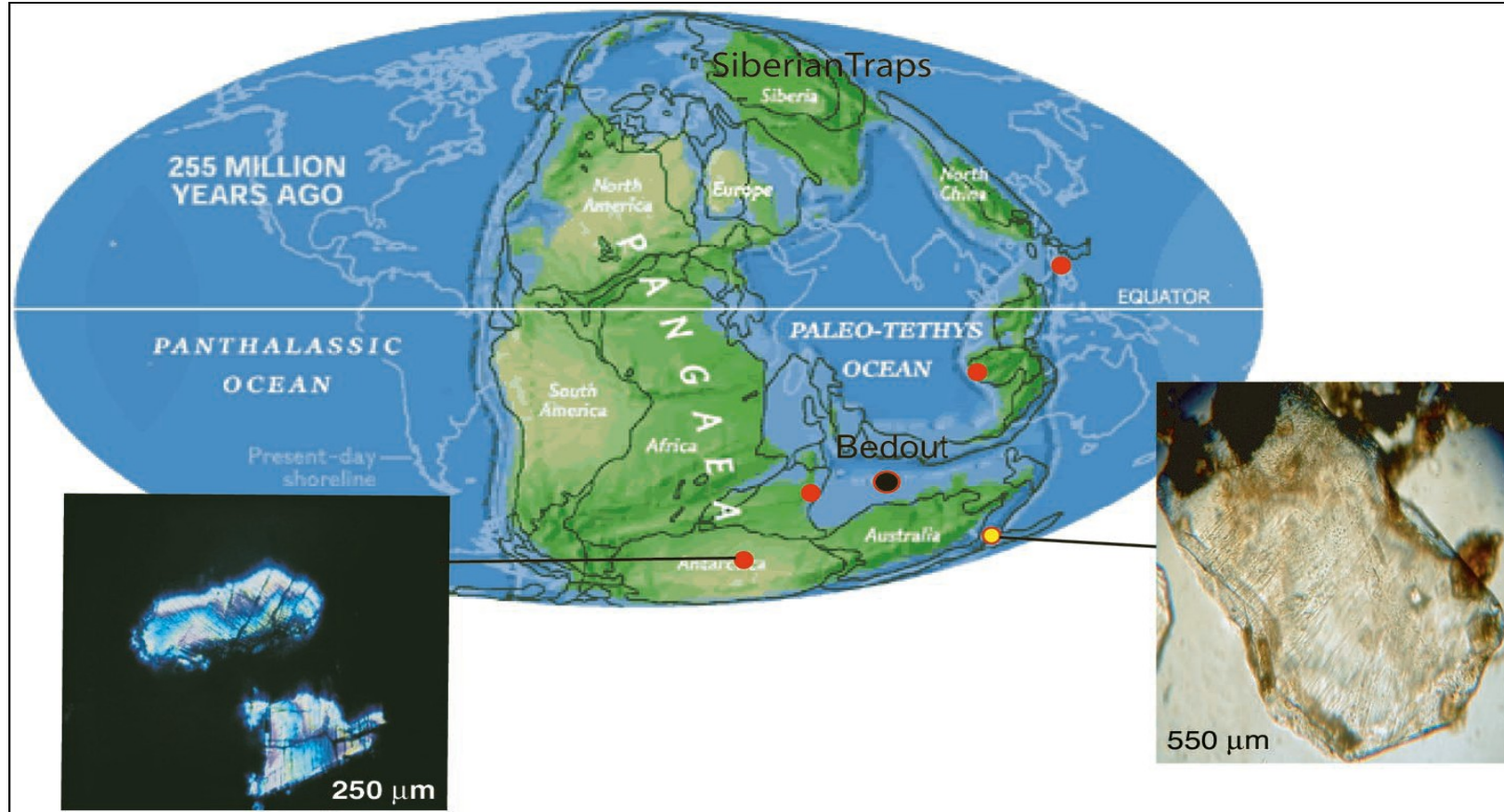
# **III. Masové vymírání – PERM/TRIAS (~250 Ma):**

## **Nejsilnější v historii Země:**

- Mizí 96 % živočišných druhů:**
  - totálně trilobiti, starobylí koráli,**
  - téměř všichni amoniti – mizí goniatitový šev,**
  - většina planktonu,**
  - převážná většina čtyřnožců -75 % čeledí (řada therapsidů, výrazně postiženi i obojživelníci)**
  - největší redukce hmyzu v historii planety – z 27 řádů mizí 8 a 10 je silně redukováno**
- Flóra mění svůj ráz postupně z paleofytické na mezofytickou => zvýšená adaptace na suché podmínky. Na hranici P/T je zřetelný, byť krátkodobý vzrůst spor hub (?).**

## Příčiny:

- spojení kontinentů = Pangea protažená S-J směrem, výrazné zmenšení plochy šelfů, rozsáhlá subdukce pacifické desky pod Pangeu, pod Z. Sibiří obrovský magmatický krb →
- obrovské výlevy čedičů na povrch – Sibiř (2,5 milionů km<sup>2</sup>, mocnost až 4 km, datace = 252.6 Ma +- 0.2) →
- obrovské oteplení, tání hydrátu metanu v oceánech → únik do atmosféry, výrazně zesílený skleníkový efekt + další oteplení etc., metan odbourává O<sub>2</sub> → snížení kyslíku až na 10 %, teplota se zvyšuje na rovníku o 7 st. C → a na pólech až o 20 st. C.
- dezertifikace (nástup pouští) na kontinentech, výpar, evaporty (v solných jezerech mikrobiální procesy produkují těkavé uhlovodíky, např. chloroform, trichloretan etc. jako dnes v jižním Rusku a jižní Africe) => velké množství jedovatých látek
- vzrůst CO<sub>2</sub> – „green-house“ podmínky v souvislosti s redukcí útesů
- regrese ve sv. permu a transgrese ve sp. triasu
- superanoxie oceánů (berthierit, FeSb<sub>2</sub>S<sub>2</sub>, na bázi triasu v sedimentech)
- impakt (?) – zatím jediný kandidát v SZ Austrálie (Bedout-High, šokované horniny ~ 250 Ma)
- vymírání vrcholí 252. 5 Ma, vrchol trval 300. 000 let



**Fig. 1.** Positions of the continents during end-Permian time. Red dots denote where extraterrestrial fullerenes have been reported. In addition, other suggested impact tracers have been found in P-T boundary layers at Graphite Peak, Antarctica; Meishan, China; and Sasayama, Japan, including meteoritic debris (8), Fe-Ni-Si grains (5, 8), shocked quartz (4), and impact spherules (6). Recently, large shocked quartz grains (fig. S1) were found in the Fraser Park, Australia, and Graphite Peak, Antarctica, P-T boundary layer (yellow dot). [The Permian map was modified from the Scotese Paleomap Project Web site ([www.scotese.com](http://www.scotese.com)).]

## RESEARCH ARTICLE

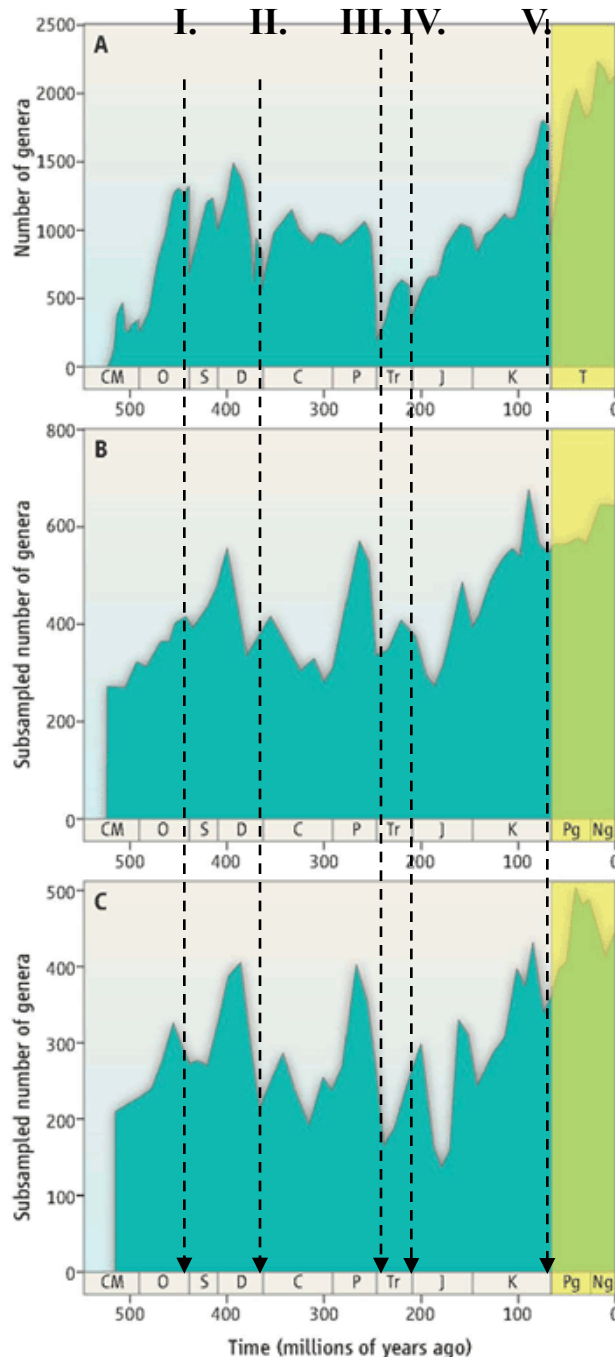
[www.sciencemag.org](http://www.sciencemag.org) SCIENCE VOL 304 4 JUNE 2004 1469

Downloaded from [www.sciencemag.org](http://www.sciencemag.org) on November 16, 2006

Závěr:

Svrchnopermská krize proběhla ve třech fázích:

1. Regrese spojená s tříštěním jednotlivých nik a klimatickou nestabilitou
2. Vulkanická aktivita (Sibiř) spojená se vzruštem CO<sub>2</sub>, globálním oteplením prudkým zvýšením metanu a dalším klimatickým zhoršením, popř. impakt následovaný prudkým ochlazením a ekologickým kolapsem
3. Transgrese na počátku triasu, rozšíření anoxických vod



Diversita podle Sepkoskiho (1997)

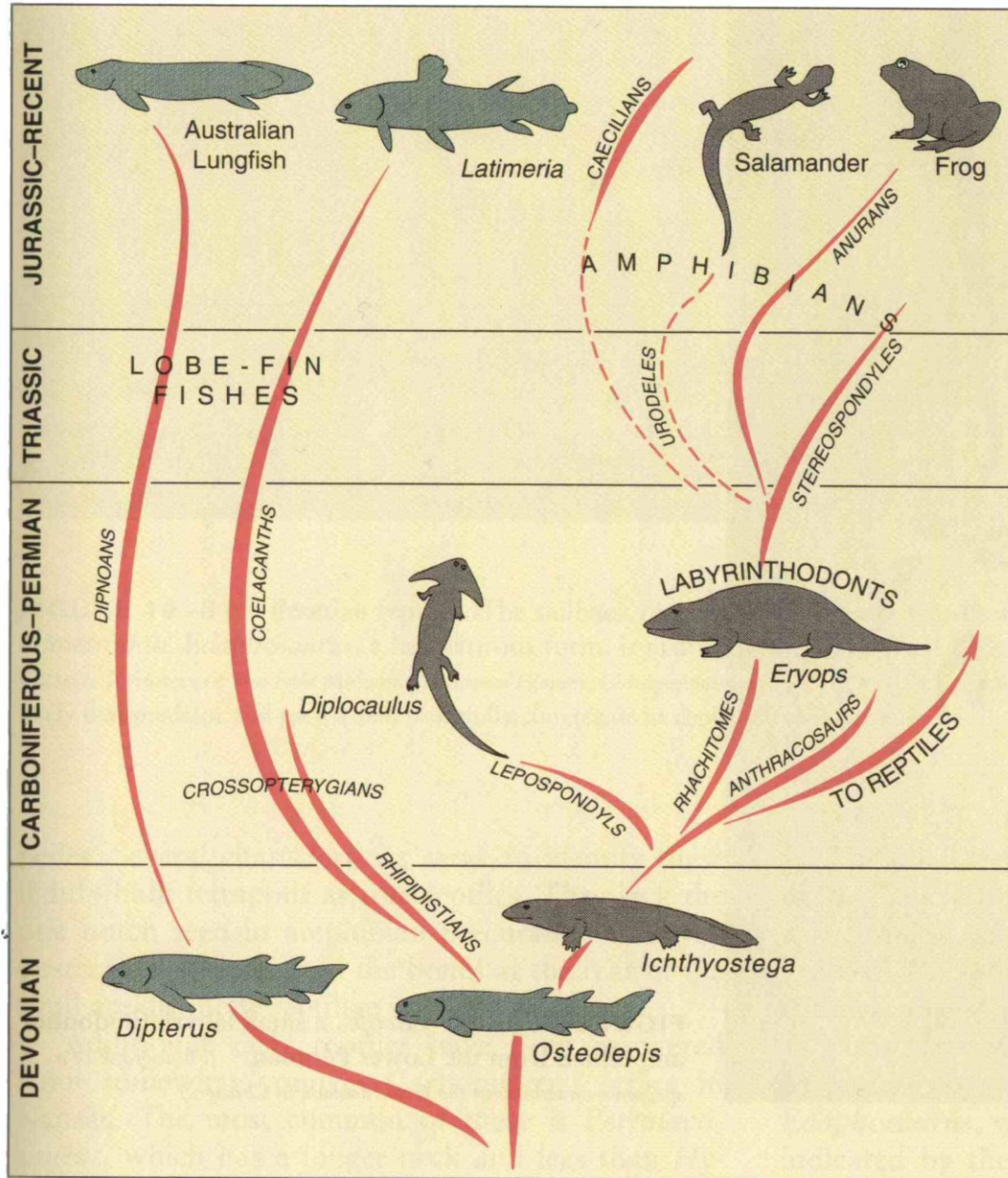
Současná křivka diverzity podle Paleobiology Database

Nejnovější křivka diverzity podle PBDB (2012) s použitím nové metody pro korekci nerovnoměrného vzorkování – pro kenozoikum (žlutá barva) je shodná s ad A)

Použité prameny:

- Benton, M.J., 1997: Vertebrate Palaeontology. – Chapman & Hall, pp.452. London.
- Courtillot, V. , 1999: Evolutionary Catastrophes, The Science of Mass Extinction. – Cambridge University Presss, pp.173, Cambridgeu(UK).
- Gould, J.S. (ed.), 1998: Dějiny planety Země. – Knižní klub, Columbus, pp. 256, Praha.
- Hallam, A., Wignall, P.B., 1997: Mass Extinctions and their Aftermath. – Oxford Univ. Press, pp. 320. Oxford.
- Kalvoda, J., Bábek, O., Brzobohatý, R., 1998: Historická geologie. – UP Olomouc, pp. 199. Olomouc.
- Lovelock, J., 1994: Gaia, živoucí planeta. – MF, MŽP ČR, Kolumbus 129, pp. 221. Praha.
- Margulisová, L., 2004: Symbiotická planeta, nový pohled na evoluci. – Academia, pp. 150. Praha.
- Paturi, F. X., 1995: Kronika Země. - Fortuna Print, pp. 576. Praha.
- Pálfy, J., 2005: Katastrophen der Erdgeschichte – globales Aussterben ? – Schweizerbart. Ver. (Nägele u. Obermiller), pp. 245, Stuttgart.
- Pokorný, V. a kol., 1992: Všeobecná paleontologie. – UK Praha, pp. 296. Praha.
- Raup, D.M., 1995: O zániku druhů. – Nakl. LN, pp.187. Praha.

Internet – různé databáze (především obrazová dokumentace)



**FIGURE 10–78** The evolution of amphibians and lobe-fin fishes. (From Colbert, E. H., and Morales, M. 1991. Evolution of the Vertebrates, 4th ed. New York: John Wiley. With permission of the author, artist Lois Darling, and the publisher.)



# Fanerozoikum

# **karbon - perm**

